

Post-main sequence evolution and planets

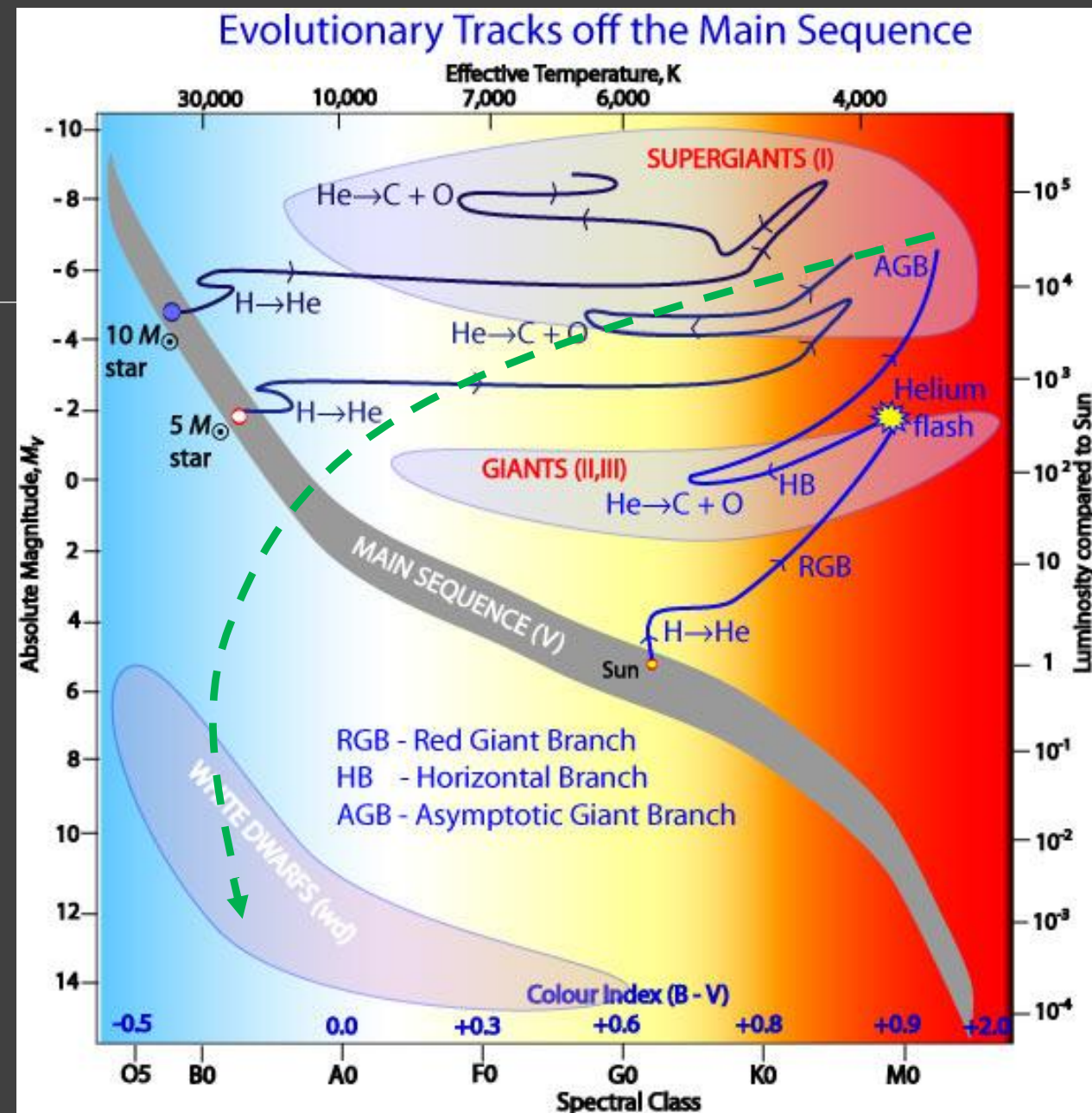
SERGEI POPOV

Post-MS evolution

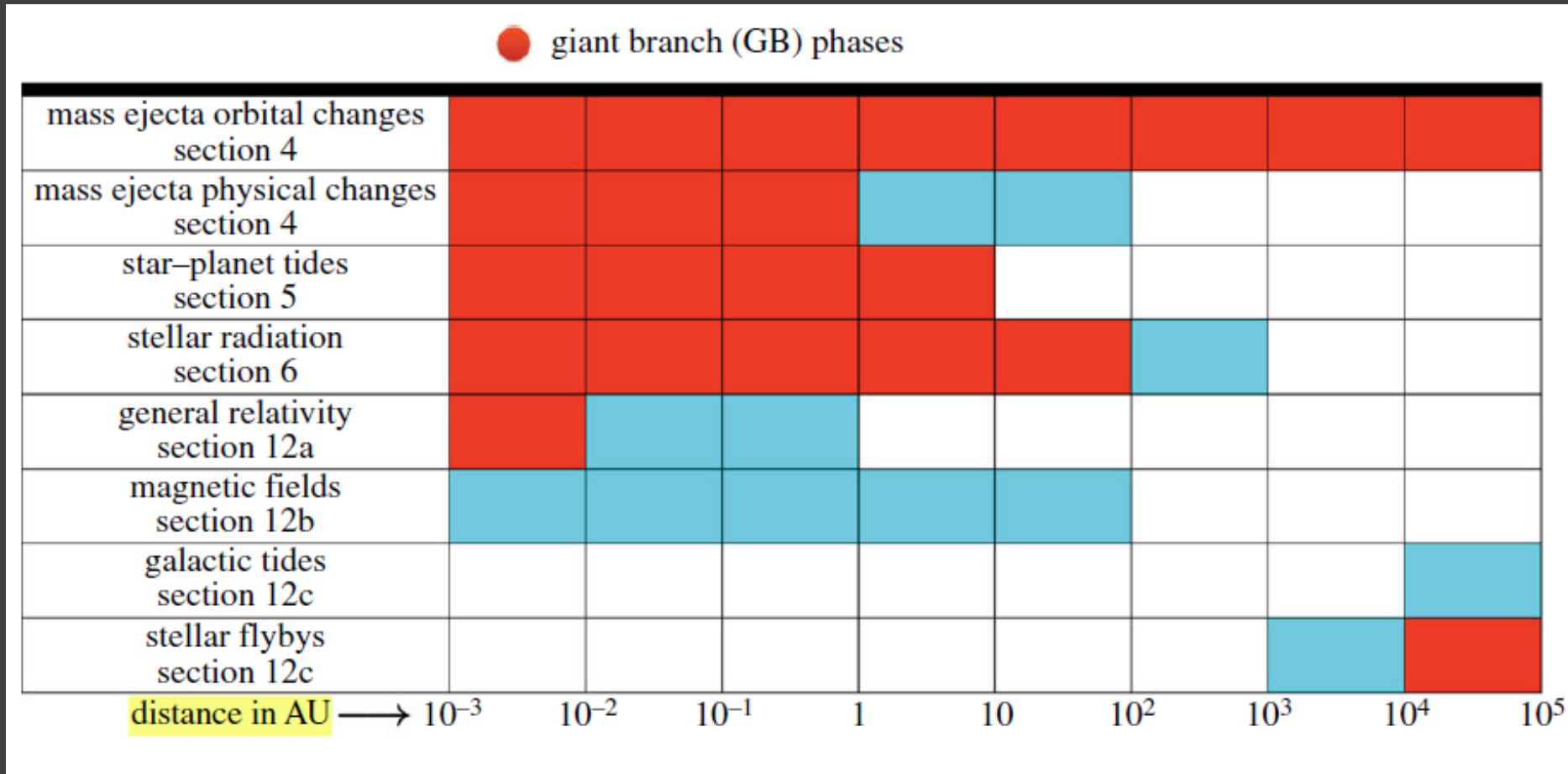
Stellar evolution influences the planetary system.

Expansion of the star, mass loss, tides –
all modifies planetary orbits.

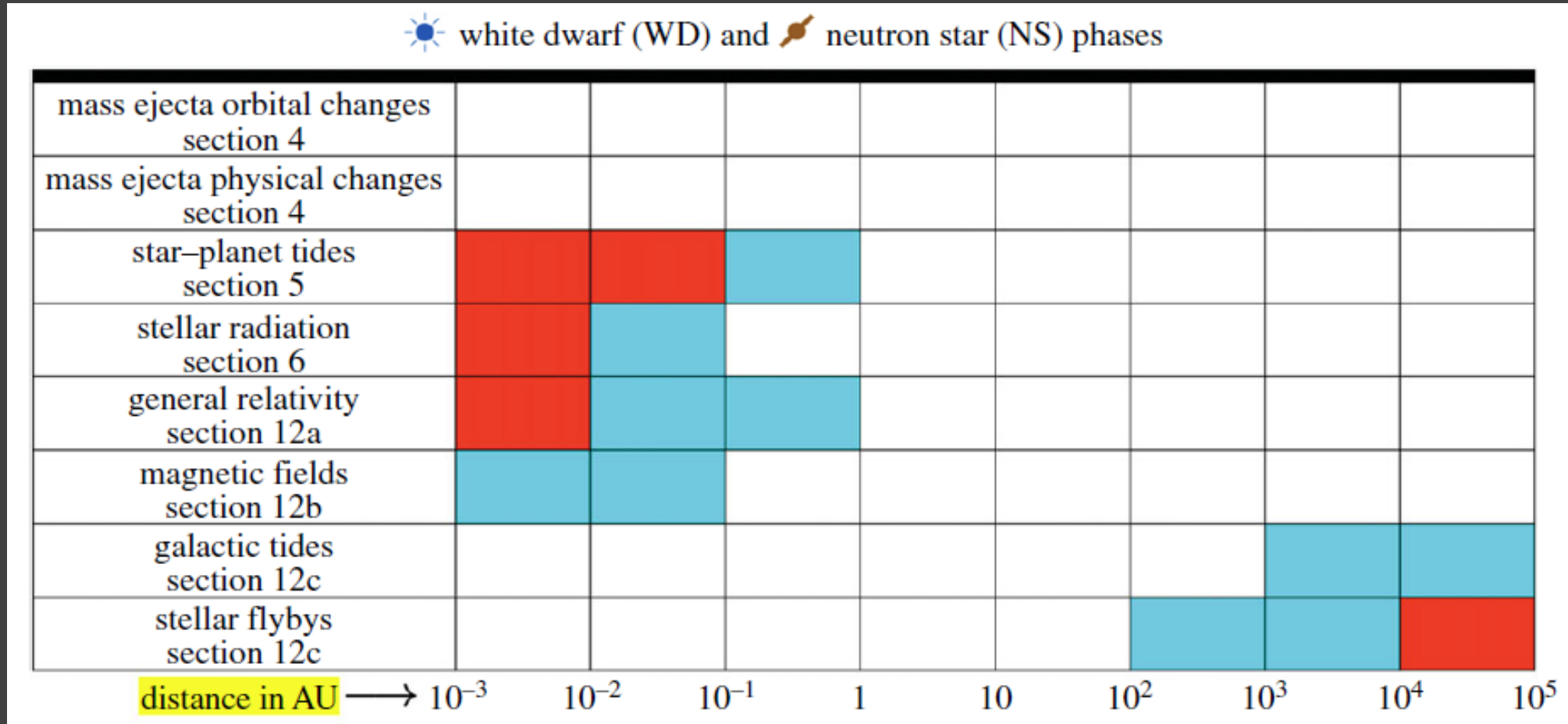
Planets are observed around red giants,
in evolved binary systems,
and even around white dwarfs and neutron stars.



Physical effects and processes: Giant stars



Physical effects and processes: WDs and NSs

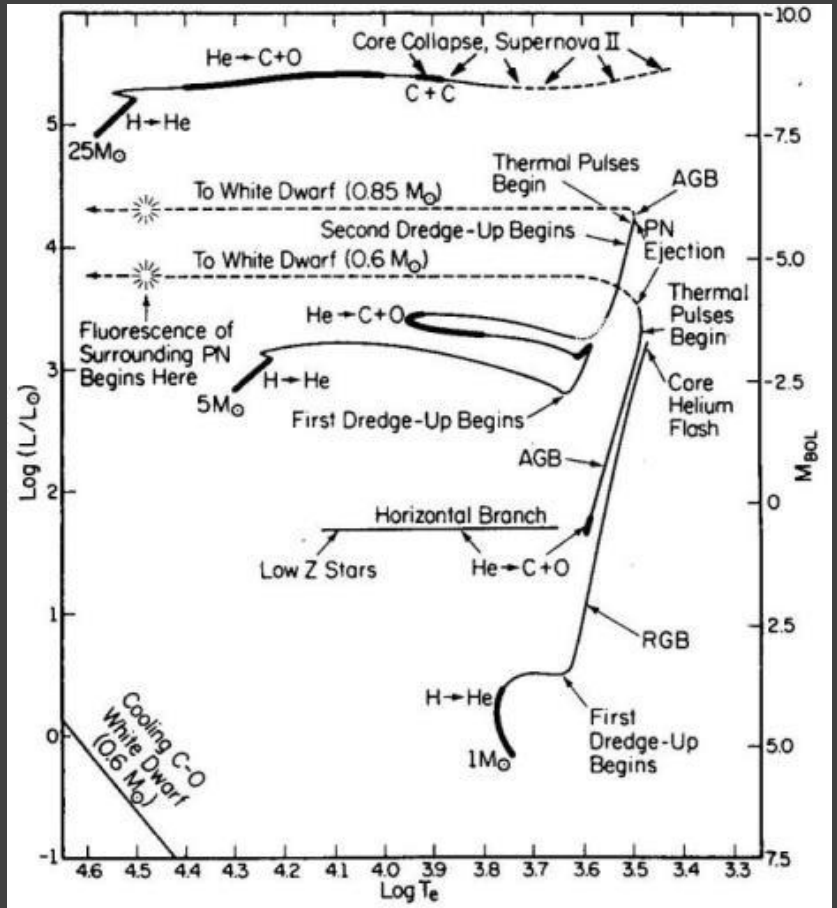


Specific post-MS systems

name	type
BD+48 740 ^a	GB star with possible pollution
G 29-38 ^b	WD with disc and pollution
GD 362 ^c	WD with disc and pollution
GJ 86 ^d	binary WD–MS with planet
NN Ser ^e	binary WD–MS with planets
PSR B1257+12 ^f	pulsar with planets
PSR B1620-26 ^g	binary pulsar-WD with planet
SDSS J1228+1040 ^h	WD with disc and pollution
WD 0806-661 ⁱ	WD with planet
WD 1145+017 ^j	WD with asteroids, disc and pollution
WD J0959-0200 ^k	WD with disc and pollution
vMa2 ^l	WD with pollution

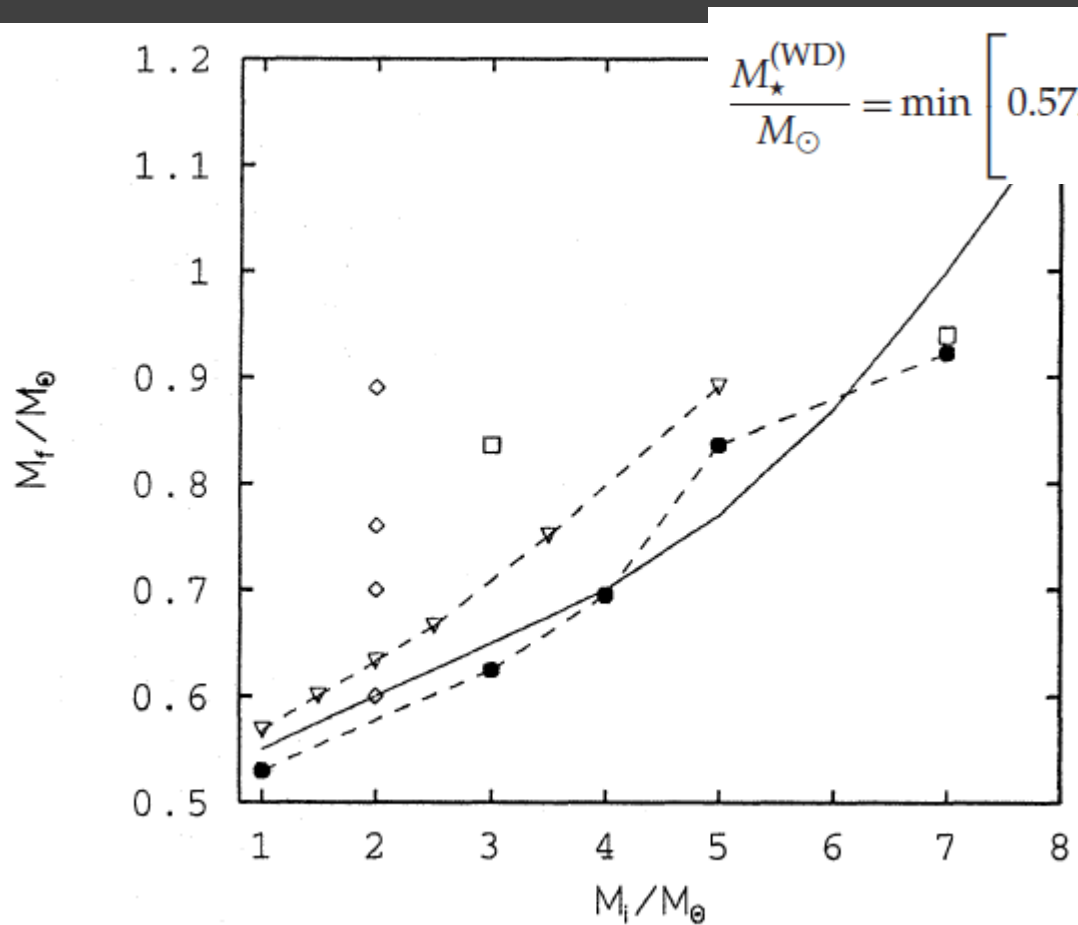
Some peculiar (at first glance) systems can shed light on important issues of stellar and planetary evolution.

Stellar evolution



MS stellar type	MS mass (M_{\odot})	WD mass (M_{\odot})	max AGB radius (AU)	max mass loss rate (M_{\odot}/yr)	max luminosity (L_{\odot})	RGB time span (Myr)	AGB time span (Myr)	RGB mass loss/AGB mass loss
B3	6.30	1.18	6.19	9.27×10^{-5}	66200	0.086	0.92	2.0×10^{-4}
B4	5.00	1.00	4.98	6.51×10^{-5}	46100	0.25	1.41	2.5×10^{-4}
B5	4.30	0.91	4.29	5.15×10^{-5}	35900	0.49	1.89	3.0×10^{-4}
B8	3.00	0.75	2.86	2.78×10^{-5}	18700	2.42	4.19	4.5×10^{-4}
A0	2.34	0.65	2.26	2.33×10^{-5}	12700	7.71	5.72	6.0×10^{-4}
A5	2.04	0.64	1.86	1.88×10^{-5}	9500	20.0	6.27	1.4×10^{-3}
F0	1.66	0.60	1.55	1.32×10^{-5}	7140	88.0	5.24	0.040
F5	1.41	0.57	1.35	9.56×10^{-6}	5800	220	5.08	0.11
G0	1.16	0.53	1.15	1.14×10^{-5}	4520	536	4.82	0.41
G2	1.11	0.53	1.11	7.44×10^{-6}	4300	621	4.77	0.57
G5	1.05	0.52	1.07	6.89×10^{-6}	4130	684	4.77	0.82
K0	0.90	0.51	0.92	2.07×10^{-7}	3590	888	5.01	4.14

Stars and white dwarfs



$$\frac{M_\star^{(\text{WD})}}{M_\odot} = \min \left[0.572 - 0.046 \frac{M_\star^{(\text{MS})}}{M_\odot} + 0.0288 \left(\frac{M_\star^{(\text{MS})}}{M_\odot} \right)^2, 1.153 - 0.242 \frac{M_\star^{(\text{MS})}}{M_\odot} + 0.0409 \left(\frac{M_\star^{(\text{MS})}}{M_\odot} \right)^2 \right]$$

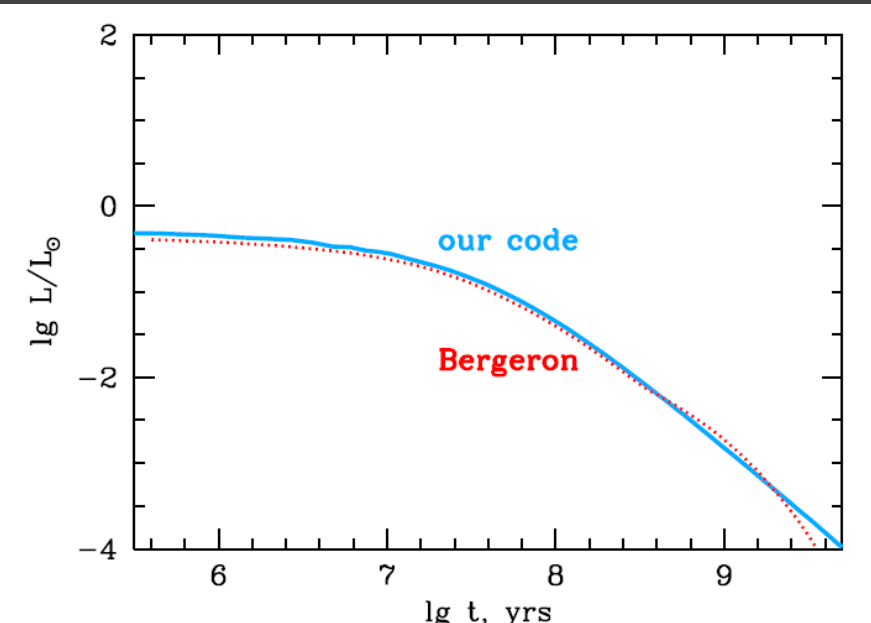
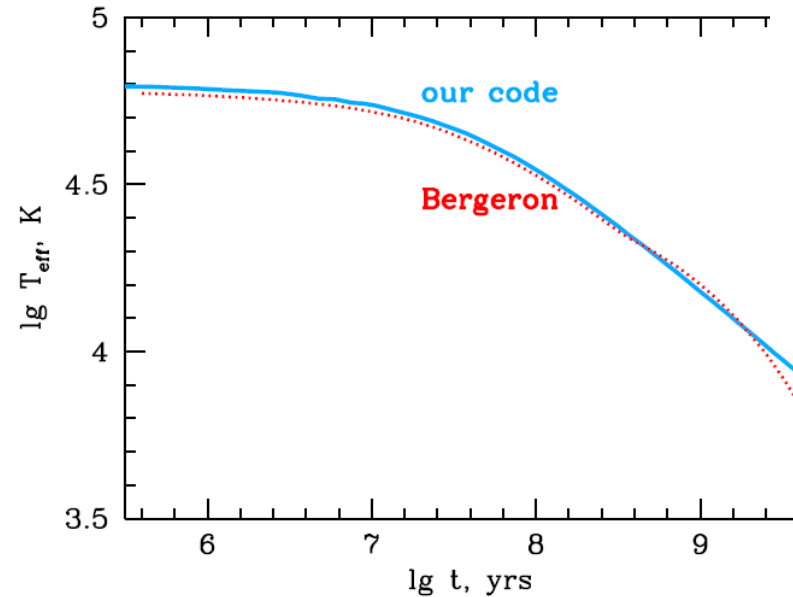
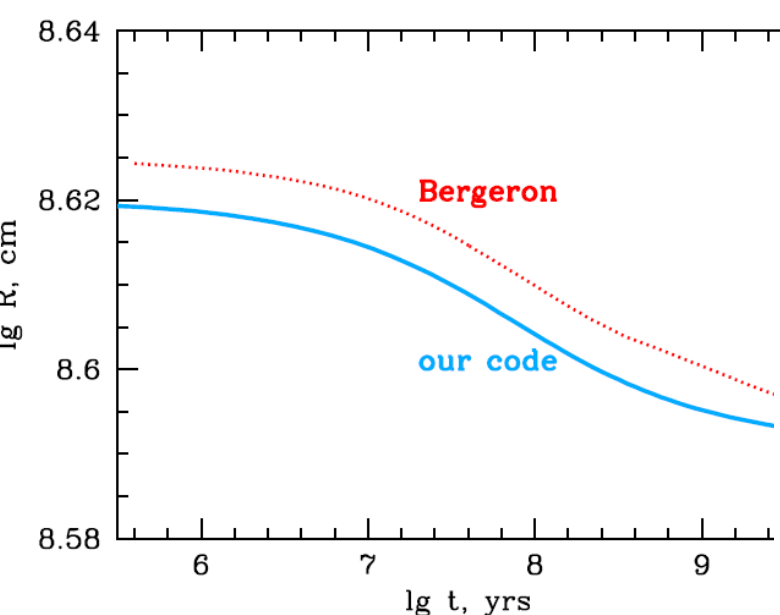
$$R_\star^{(\text{WD})}/R_\odot \sim 10^{-2} (M_\star^{(\text{WD})}/M_\odot)^{-1/3}$$

$$\frac{R_\star^{(\text{WD})}}{R_\odot} \approx 0.0127 \left(\frac{M_\star^{(\text{WD})}}{M_\odot} \right)^{-1/3} \sqrt{1 - 0.607 \left(\frac{M_\star^{(\text{WD})}}{M_\odot} \right)^{4/3}}$$

$$L_\star^{(\text{WD})} = 3.26 L_\odot \left(\frac{M_\star^{(\text{WD})}}{0.6 M_\odot} \right) \left(\frac{Z_\star}{0.02} \right)^{0.4} \left(0.1 + \frac{t_{\text{cool}}}{\text{Myr}} \right)^{-1.18}$$

Thermal evolution of WDs

The code by Blinnikov and Dunina-Barkovskaya (1994).



Stellar mass vs. white dwarf mass

PARSEC-Based IFMR^[10]

$$M_f = (0.0873 \pm 0.0190) \times M_i + (0.476 \pm 0.033) M_\odot \quad (1)$$

$(0.87 M_\odot < M_i < 2.80 M_\odot)$

$$M_f = (0.181 \pm 0.041) \times M_i + (0.210 \pm 0.131) M_\odot \quad (2)$$

$(2.80 M_\odot < M_i < 3.65 M_\odot)$

$$M_f = (0.0835 \pm 0.0144) \times M_i + (0.565 \pm 0.073) M_\odot \quad (3)$$

$(3.65 M_\odot < M_i < 8.20 M_\odot)$

MIST-Based IFMR

$$M_f = (0.080 \pm 0.016) \times M_i + (0.489 \pm 0.030) M_\odot \quad (4)$$

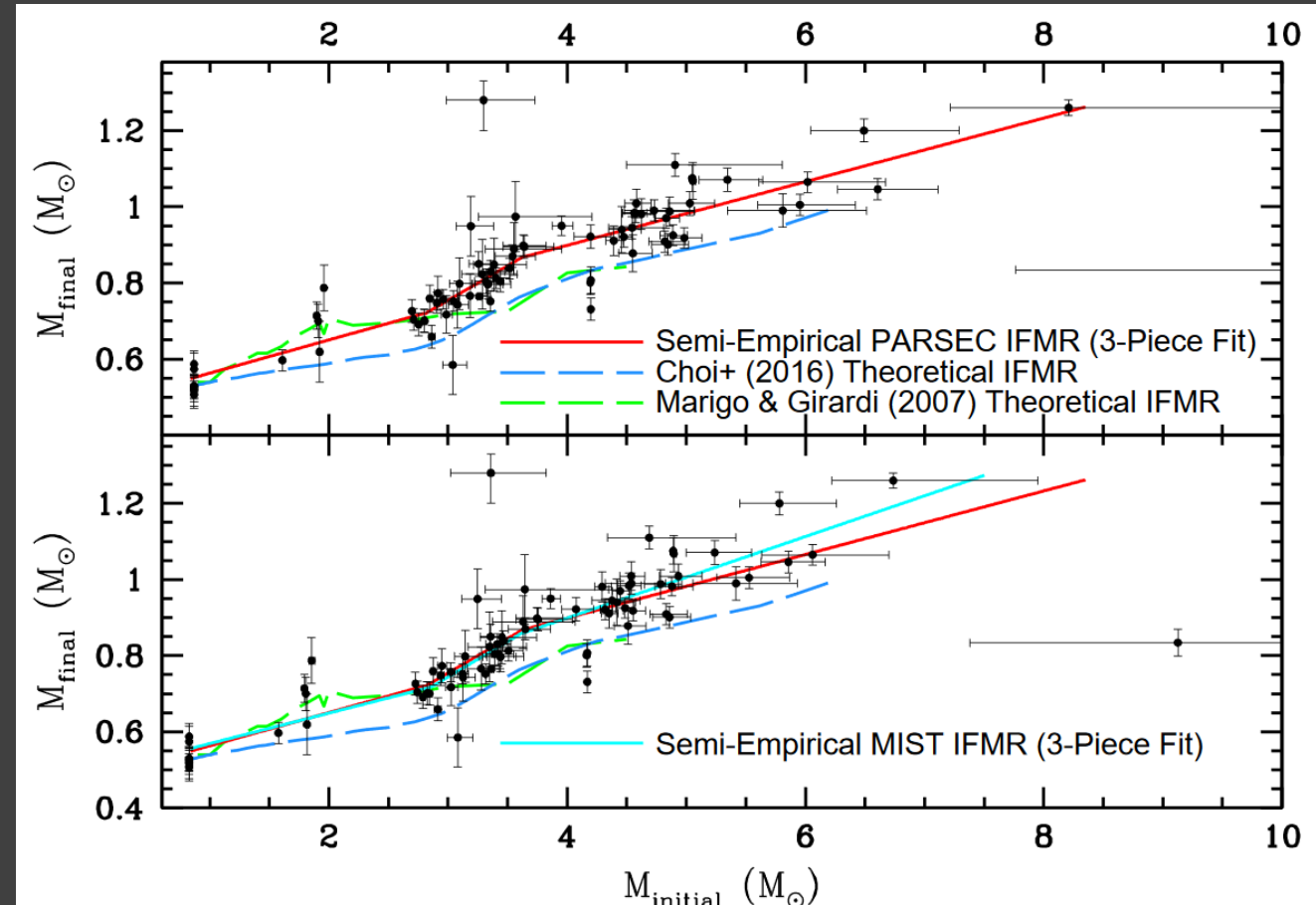
$(0.83 M_\odot < M_i < 2.85 M_\odot)$

$$M_f = (0.187 \pm 0.061) \times M_i + (0.184 \pm 0.199) M_\odot \quad (5)$$

$(2.85 M_\odot < M_i < 3.60 M_\odot)$

$$M_f = (0.107 \pm 0.016) \times M_i + (0.471 \pm 0.077) M_\odot \quad (6)$$

$(3.60 M_\odot < M_i < 7.20 M_\odot)$



Mass loss after the Main sequence

Mass loss at the red giant branch (modified Reimers formula)

$$\frac{dM_{\star}^{(\text{RGB})}}{dt} = 8 \times 10^{-14} M_{\odot} \text{ yr}^{-1} \left(\frac{L_{\star}^{(\text{RGB})}}{L_{\odot}} \right) \left(\frac{R_{\star}^{(\text{RGB})}}{R_{\odot}} \right) \left(\frac{M_{\star}^{(\text{RGB})}}{M_{\odot}} \right)^{-1} \\ \times \left(\frac{T_{\star}^{(\text{RGB})}}{4000 \text{ K}} \right)^{7/2} \left[1 + 2.3 \times 10^{-4} \left(\frac{g_{\star}^{(\text{RGB})}}{g_{\odot}} \right)^{-1} \right],$$

Veras (2016)

$$\dot{M}_{\text{R}} = 4 \cdot 10^{-13} \eta_{\text{R}} \frac{LR}{M} \quad [M_{\odot}/\text{yr}].$$

RGB and AGB for P<100 days

$$\log(P_0/\text{d}) = -1.92 - 0.73 \log M + 1.86 \log R.$$

AGB for P > 100 days

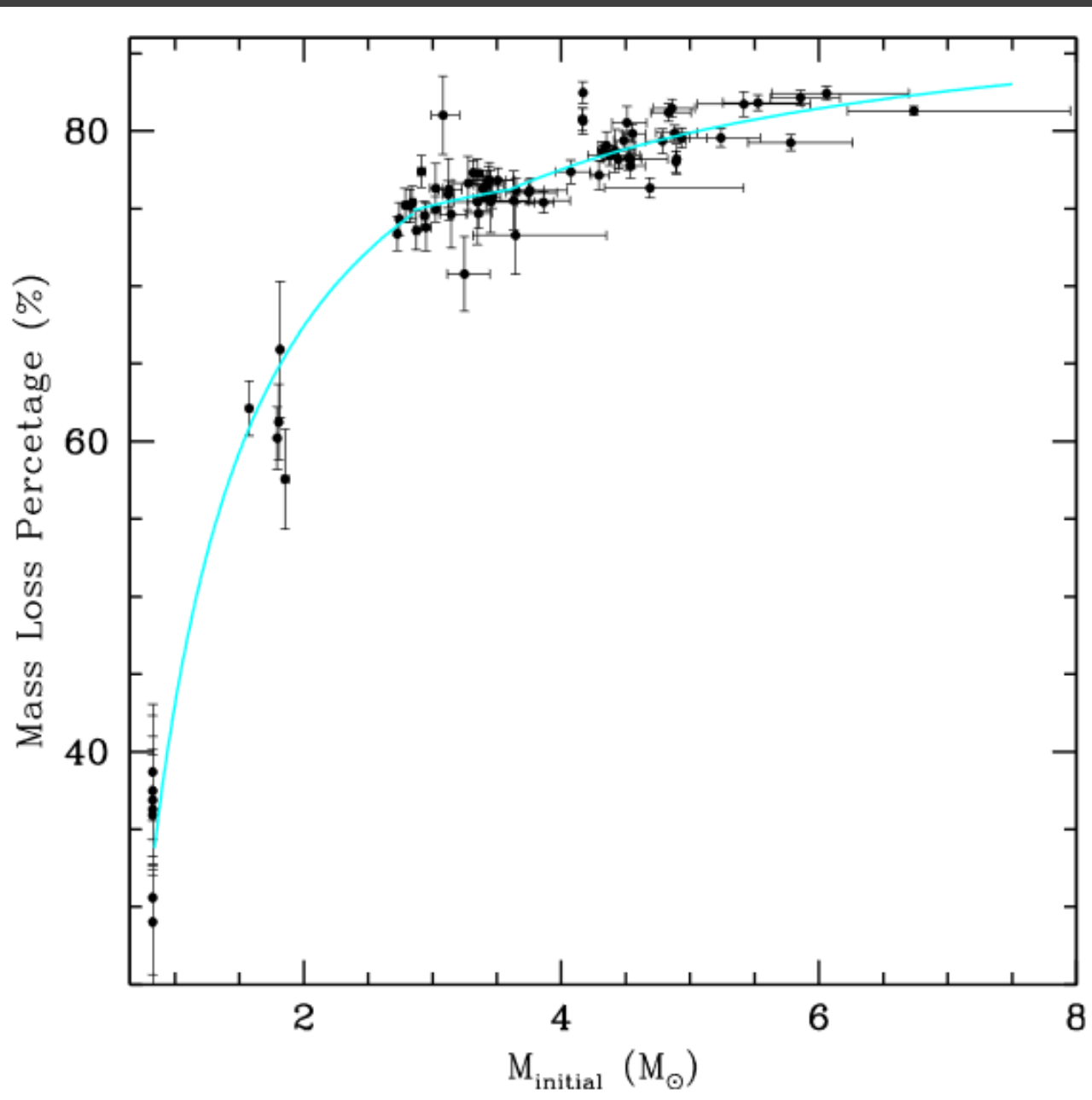
$$\dot{M}_{\text{B1}} = 4.83 \cdot 10^{-9} M_{\text{ZAMS}}^{-2.1} \cdot L^{2.7} \cdot \dot{M}_{\text{R}} \quad [M_{\odot}/\text{yr}]$$

Mass loss after the RGB is uncertain.
It is not constant due to pulsation.

At the tip of the AGB Mdot can reach
0.0001 solar mass per year.

At the AGB M_{ZAMS} can be modified to M_{CURRENT}

Mass loss



Orbital evolution with mass loss

General formula

$$\frac{d^2\mathbf{r}}{dt^2} = -\frac{G(M_\star + M_{\text{SB}})}{r^3} \mathbf{r}.$$

$$\frac{d^2\mathbf{r}}{dt^2} = -\frac{G(M_\star(t=0) + M_{\text{SB}}(t=0))}{r^3} \mathbf{r} - \frac{1}{2(M_\star(t) + M_{\text{SB}}(t))} \frac{d(M_\star(t) + M_{\text{SB}}(t))}{dt} \mathbf{r},$$

$$\begin{aligned} \frac{da}{dt} &= -\frac{a(1 + e^2 + 2e \cos f)}{1 - e^2} \frac{\dot{M}_\star + \dot{M}_{\text{SB}}}{M_\star + M_{\text{SB}}} = -a \left(\frac{1 + e \cos E}{1 - e \cos E} \right) \frac{\dot{M}_\star + \dot{M}_{\text{SB}}}{M_\star + M_{\text{SB}}}, \\ \frac{de}{dt} &= -(e + \cos f) \frac{\dot{M}_\star + \dot{M}_{\text{SB}}}{M_\star + M_{\text{SB}}} = - \left[\frac{(1 - e^2) \cos E}{1 - e \cos E} \right] \frac{\dot{M}_\star + \dot{M}_{\text{SB}}}{M_\star + M_{\text{SB}}}, \\ \frac{di}{dt} &= 0 = 0, \\ \frac{d\Omega}{dt} &= 0 = 0 \\ \frac{d\omega}{dt} &= - \left(\frac{\sin f}{e} \right) \frac{\dot{M}_\star + \dot{M}_{\text{SB}}}{M_\star + M_{\text{SB}}} = - \left[\frac{\sqrt{1 - e^2} \sin E}{e(1 - e \cos E)} \right] \frac{\dot{M}_\star + \dot{M}_{\text{SB}}}{M_\star + M_{\text{SB}}}. \end{aligned}$$

true anomaly f

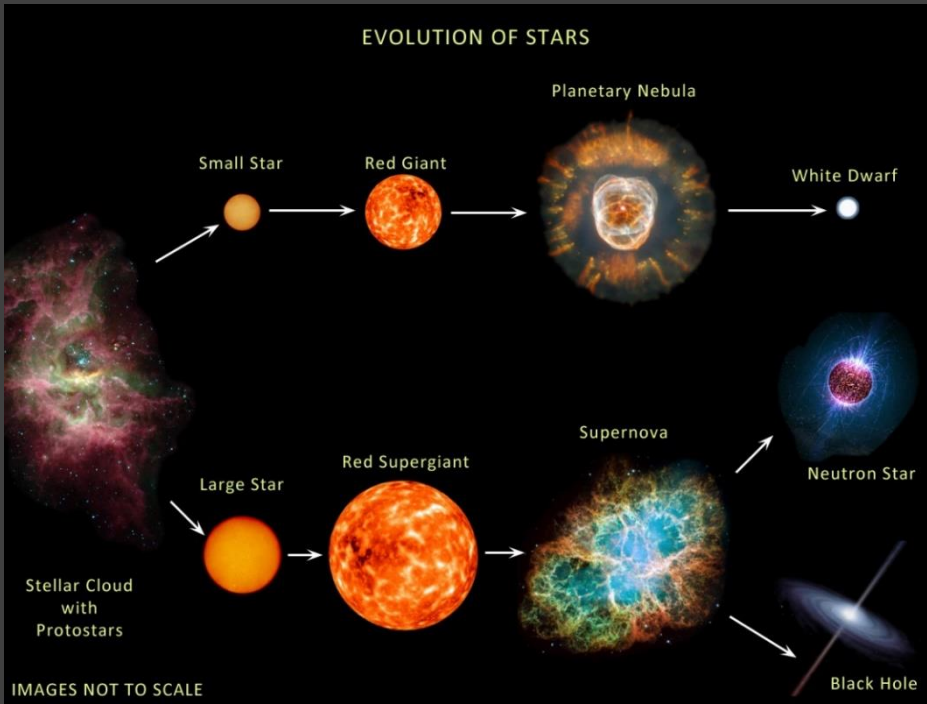
eccentric anomaly E :

$$\frac{df}{dt} = -\frac{d\omega}{dt} + \frac{n(1 + e \cos f)^2}{(1 - e^2)^{3/2}}$$

$$\frac{dE}{dt} = -\frac{1}{\sqrt{1 - e^2}} \frac{d\omega}{dt} + \frac{n}{1 - e \cos E}.$$

$$n = G^{1/2} (M_\star + M_{\text{SB}})^{1/2} a^{-3/2}$$

Выброс планет звездами

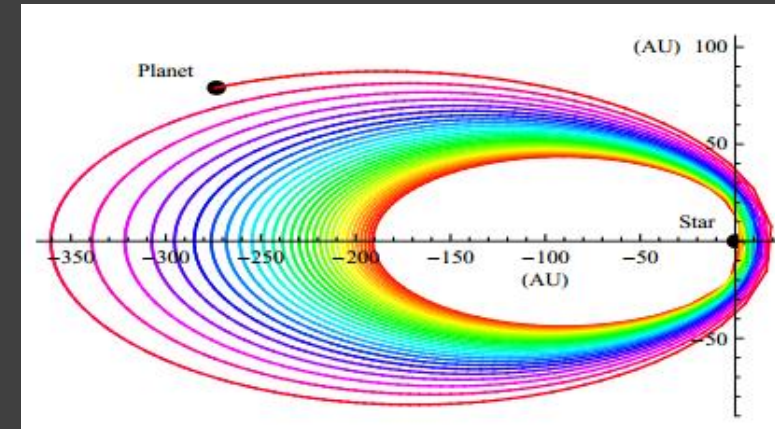


Интересные потери планет могут происходить в двойных системах!

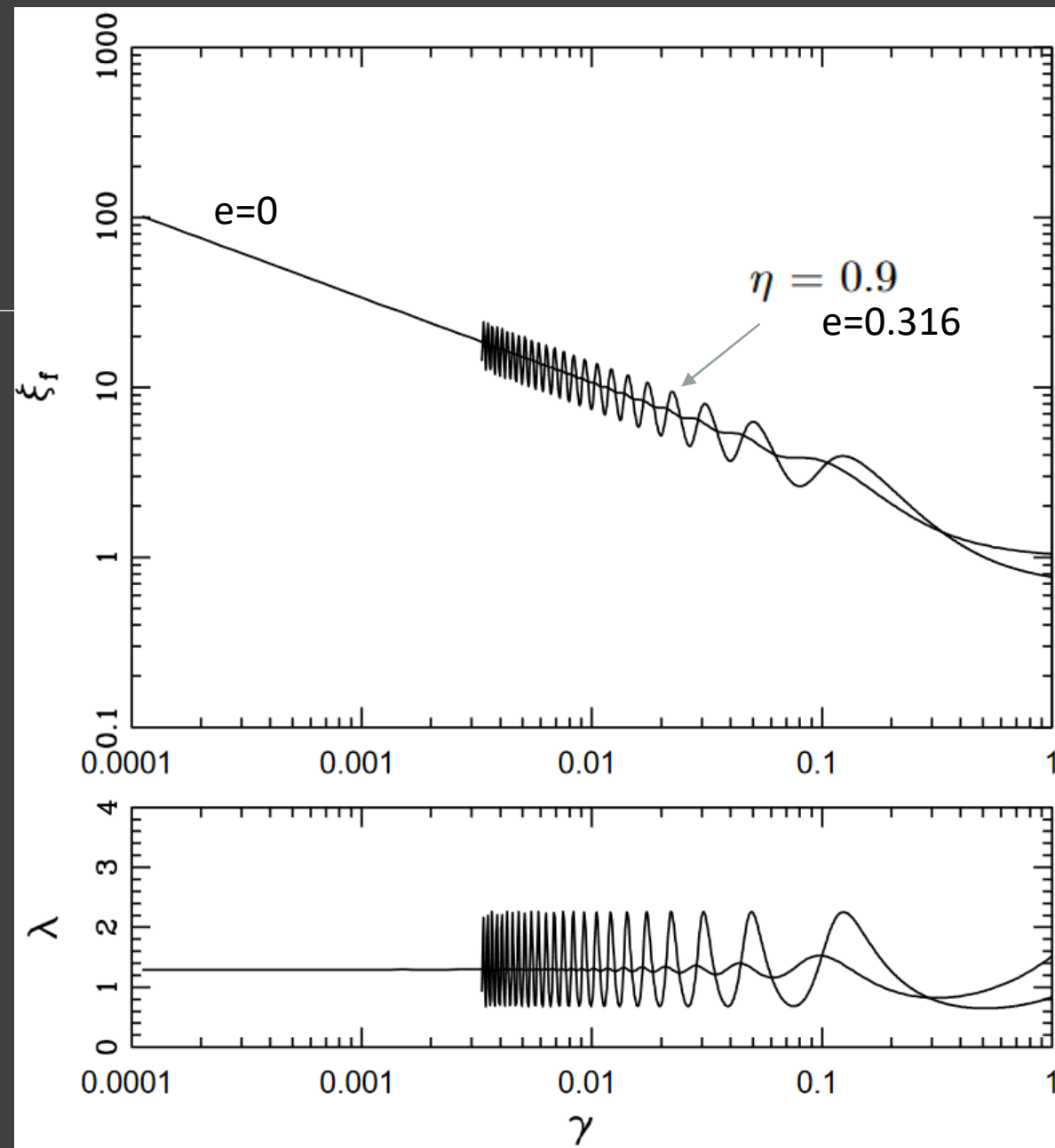
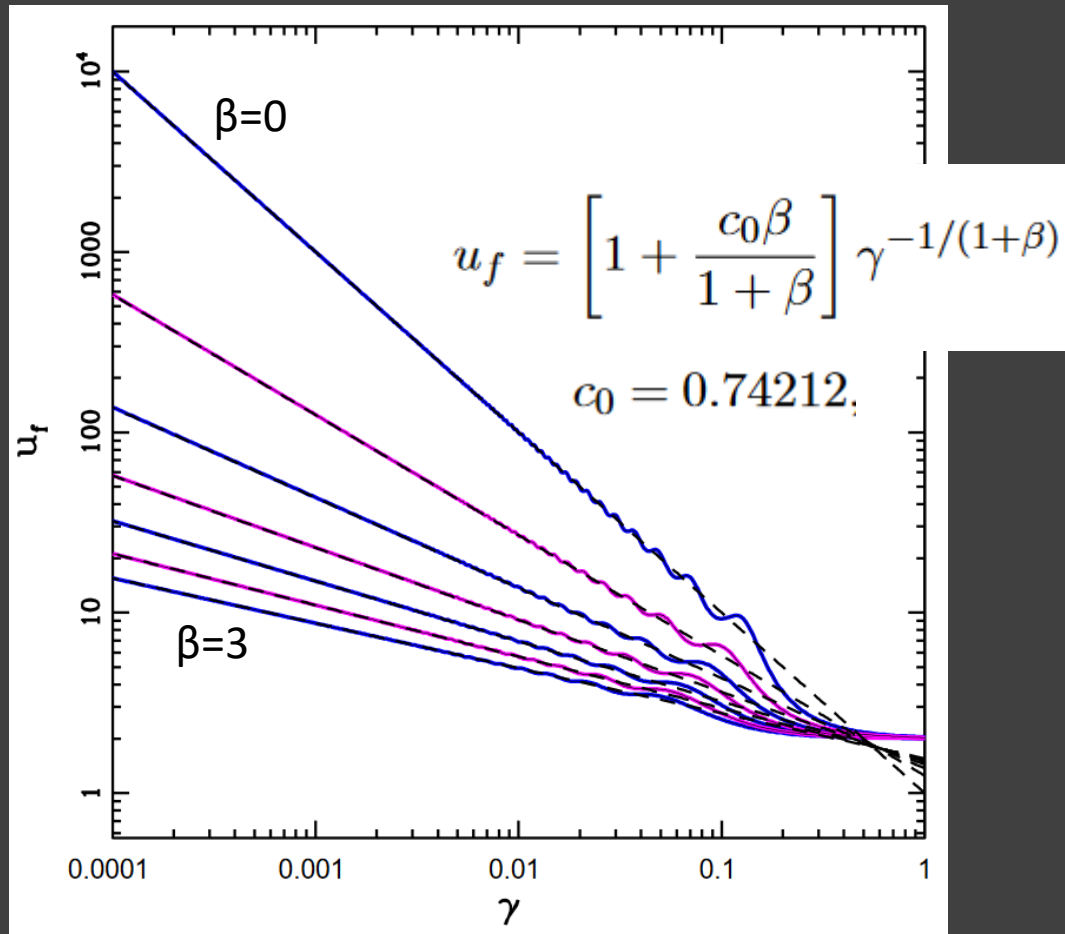
Что происходит с планетами когда звезда теряет массу?

У звезд типа Солнца планеты на орbitах, как в СС, останутся в системе, но орбиты будут шире. Поэтому и наблюдают планеты у белых карликов

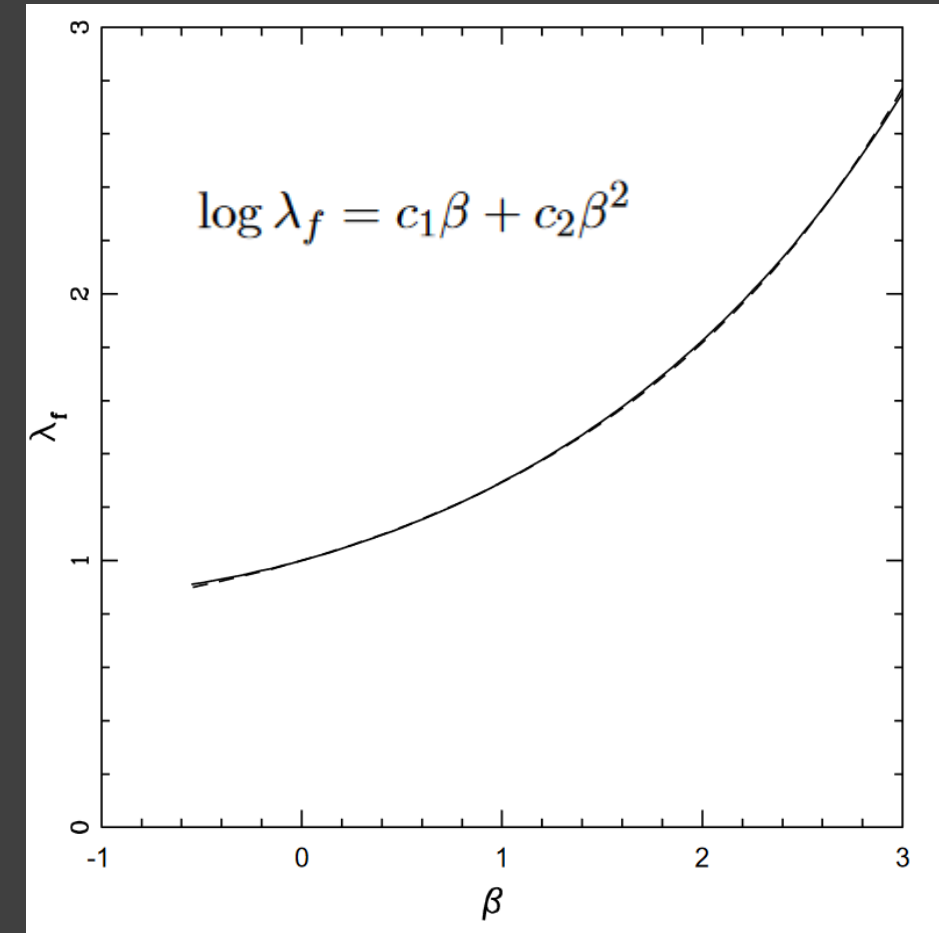
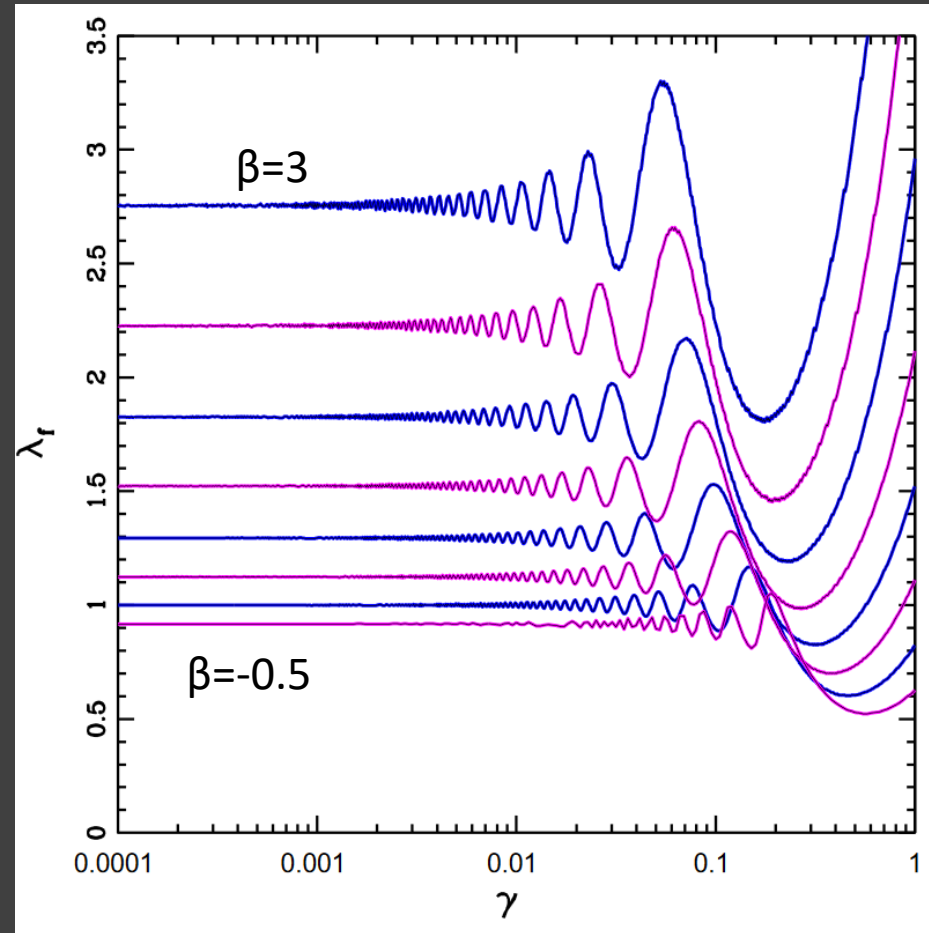
Далекие планеты МОГУТ «улететь»



Numerical results



Numerical results



Adiabatic regime: simple solution

$$\Psi \equiv \frac{\dot{M}_\star}{M_\star n} = \frac{1}{2\pi} \left(\frac{\dot{M}_\star}{M_\odot \text{ yr}^{-1}} \right) \left(\frac{M_\star}{M_\odot} \right)^{-3/2} \left(\frac{a}{\text{AU}} \right)^{3/2}$$

$$n = G^{1/2} (M_\star + M_{\text{SB}})^{1/2} a^{-3/2}$$

$\Psi \ll 1$ Adiabatic regime – easy to analyze.
Eccentricity is constant and so:

$$(1/a) \frac{da/dt}{a} = -(M_\star + M_{\text{SB}})^{-1} (\dot{M}_\star / dt)$$

Most of planet are in these regime ($a < 100$ AU).

Gas drag in the wind and atmosphere

Small bodies can be destroyed by the wind
or in atmosphere.

$$g_{\text{SB}} \lesssim \frac{2\pi\rho_{\text{SB}}\rho_{\text{wind}}v^2}{R_{\text{SB}}(\rho_{\text{SB}}^2 - \rho_{\text{wind}}^2)},$$

$$\begin{aligned} M_{\text{SB}} &\lesssim 0.02M_{\oplus} \left(\frac{\rho_{\text{wind}}}{10^{-4} \text{ g cm}^{-3}} \right)^{3/2} \left(\frac{\rho_{\text{SB}}}{2 \text{ g cm}^{-3}} \right)^{-2} \left(\frac{v}{100 \text{ km s}^{-1}} \right)^3 \\ &\sim 100 \text{ kg} \left(\frac{\rho_{\text{wind}}}{10^{-16} \text{ g cm}^{-3}} \right)^{3/2} \left(\frac{\rho_{\text{SB}}}{2 \text{ g cm}^{-3}} \right)^{-2} \left(\frac{v}{10 \text{ km s}^{-1}} \right)^3. \end{aligned}$$

Tides

$$\frac{da}{dt} = -\frac{a}{9t_{\text{conv}}} \frac{M_{\star}^{(\text{env})}}{M_{\star}} \frac{M_{\text{SB}}}{M_{\star}} \left(1 + \frac{M_{\text{SB}}}{M_{\star}}\right) \left(\frac{R_{\star}}{a}\right)^8 \left[2p_2 + e^2 \left(\frac{7}{8}p_1 - 10p_2 + \frac{441}{8}p_3\right)\right]$$

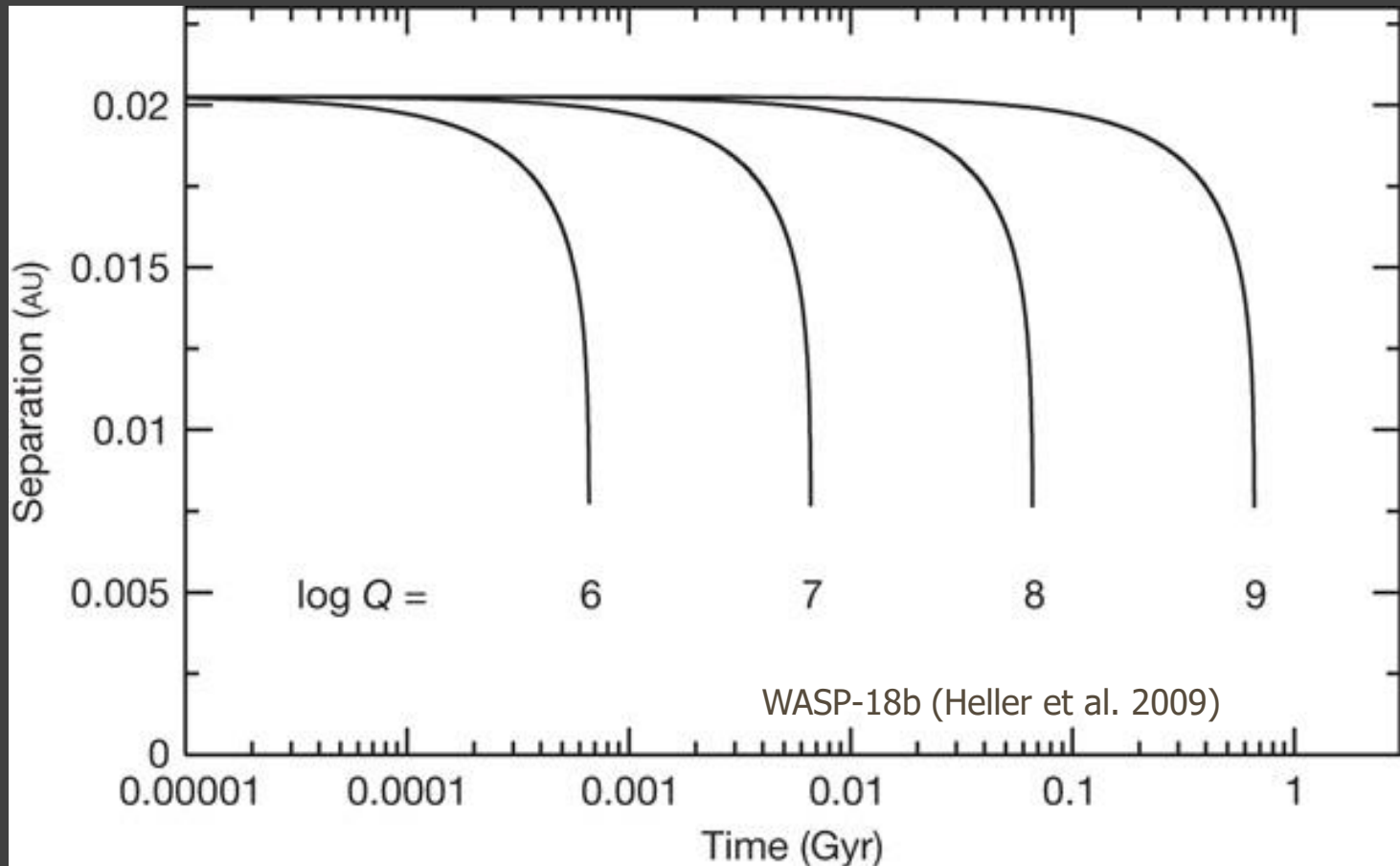
$$\frac{de}{dt} = -\frac{e}{36t_{\text{conv}}} \frac{M_{\star}^{(\text{env})}}{M_{\star}} \frac{M_{\text{SB}}}{M_{\star}} \left(1 + \frac{M_{\text{SB}}}{M_{\star}}\right) \left(\frac{R_{\star}}{a}\right)^8 \left[\frac{5}{4}p_1 - 2p_2 + \frac{147}{4}p_3\right],$$

$$t_{\text{conv}} = \left[\frac{M_{\star}^{(\text{env})}(R_{\star} - R_{\star}^{(\text{env})})^2}{3L_{\star}} \right]^{1/3}$$

$$p_l \approx \frac{9}{2} \min \left[1, \left(\frac{4\pi^2 a^3}{l^2 G(M_{\star} + M_{\text{SB}})[t_{\text{conv}}]^2} \right) \right]$$

Actually, many different approaches to calculate tidal effects are used.

Приливы

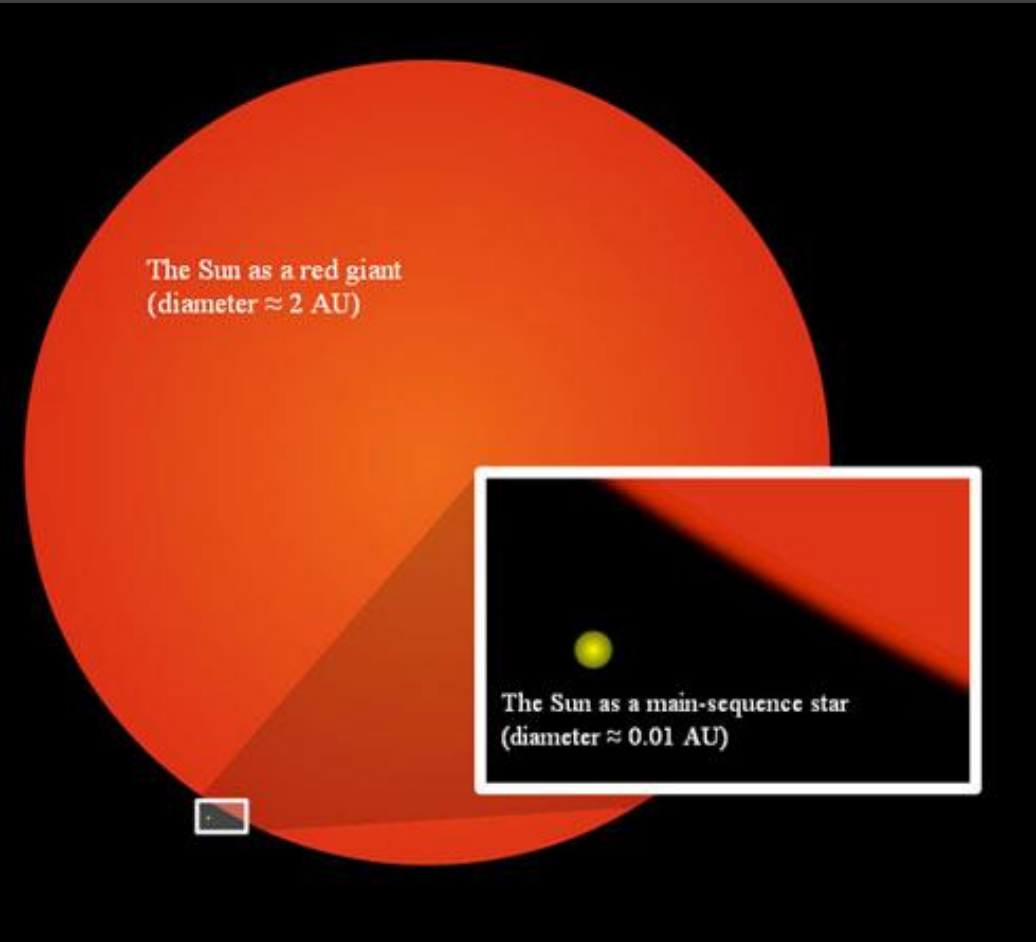


Планеты и звезды (а также планеты друг с другом) могут активно взаимодействовать за счет приливов. Это будет приводить к изменению орбиты и скорости собственного вращения.

При орбитальном периоде короче нескольких дней (орбита менее 0.02 а.е.) невозможно равновесие, и орбита планеты постоянно сокращается, пока планета не будет разрушена и/или поглощена.

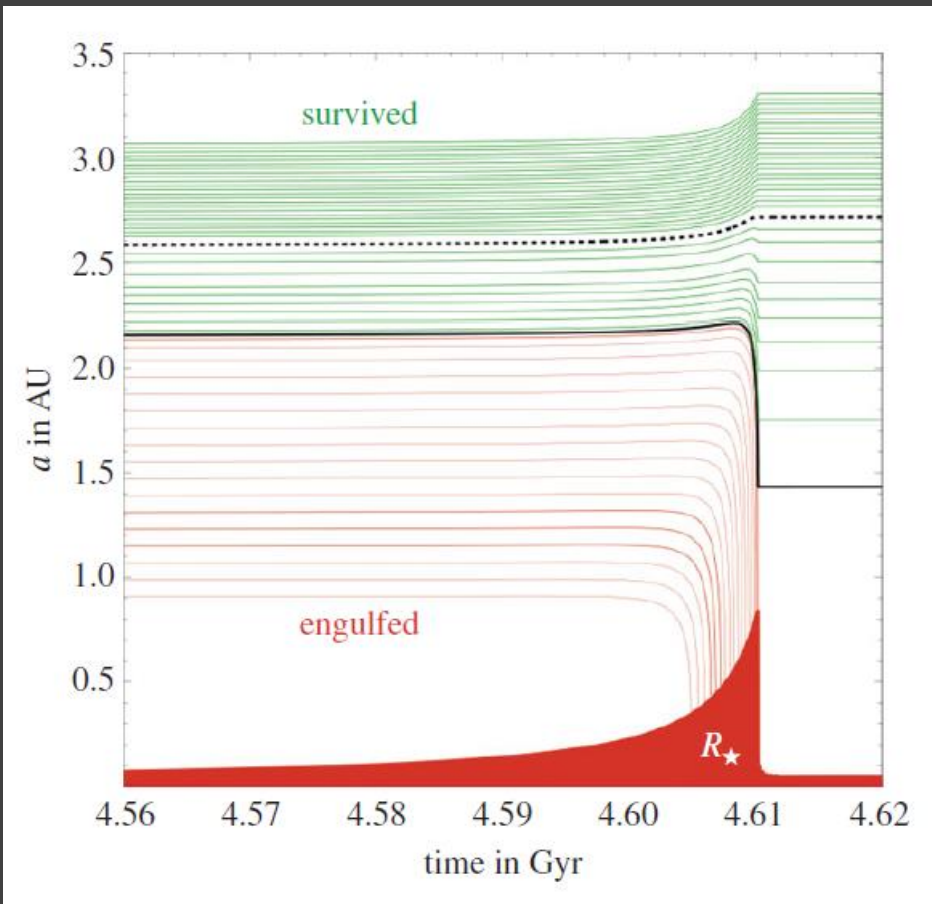
Превращение звезды в красный гигант

https://www.e-education.psu.edu/astro801/content/l6_p2.html



Звездная эволюция отражается на планетах.
При превращении звезды в красного гиганта часть планет оказывается поглощенными.

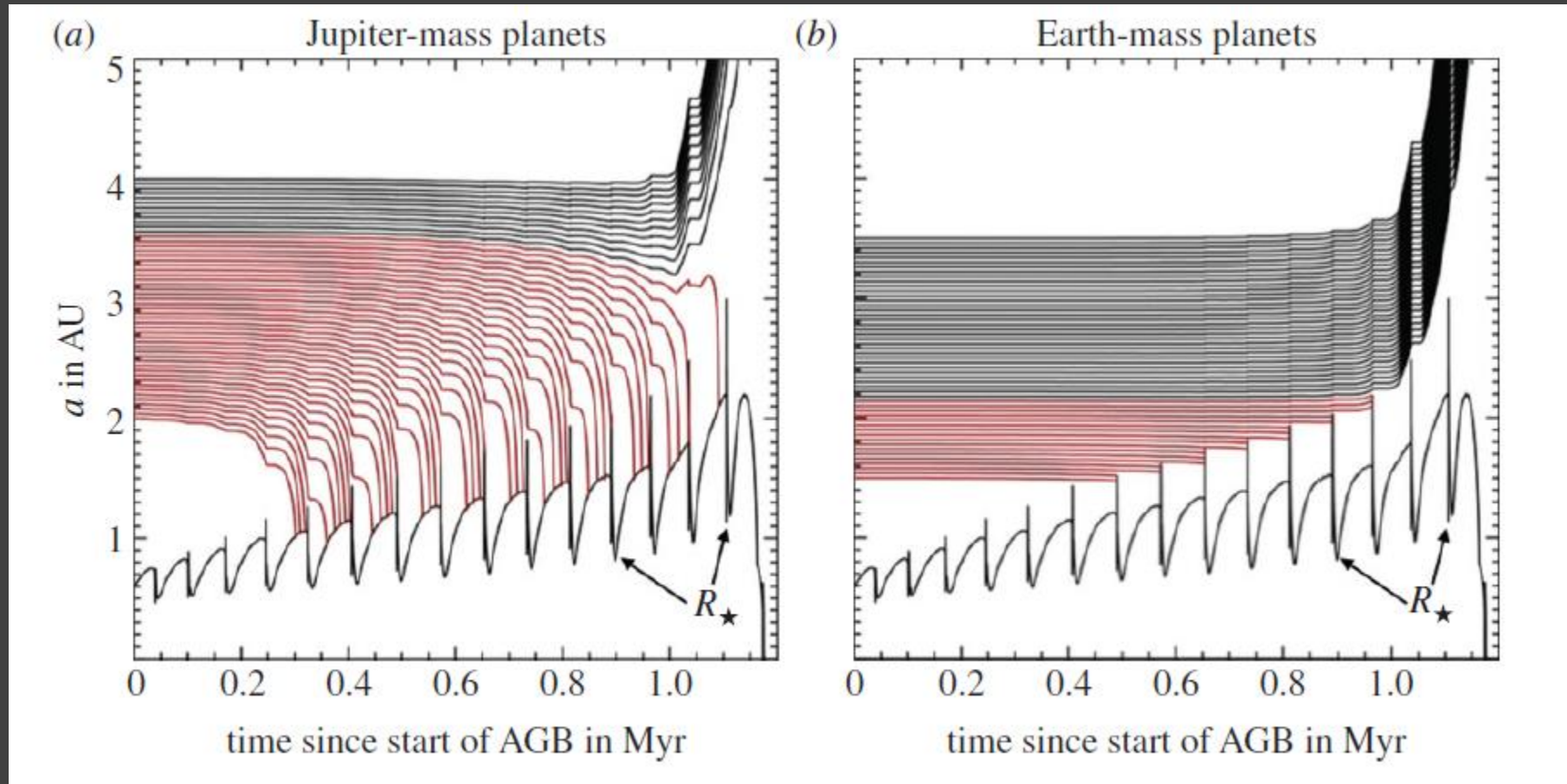
Tidal engulfment: RGB star



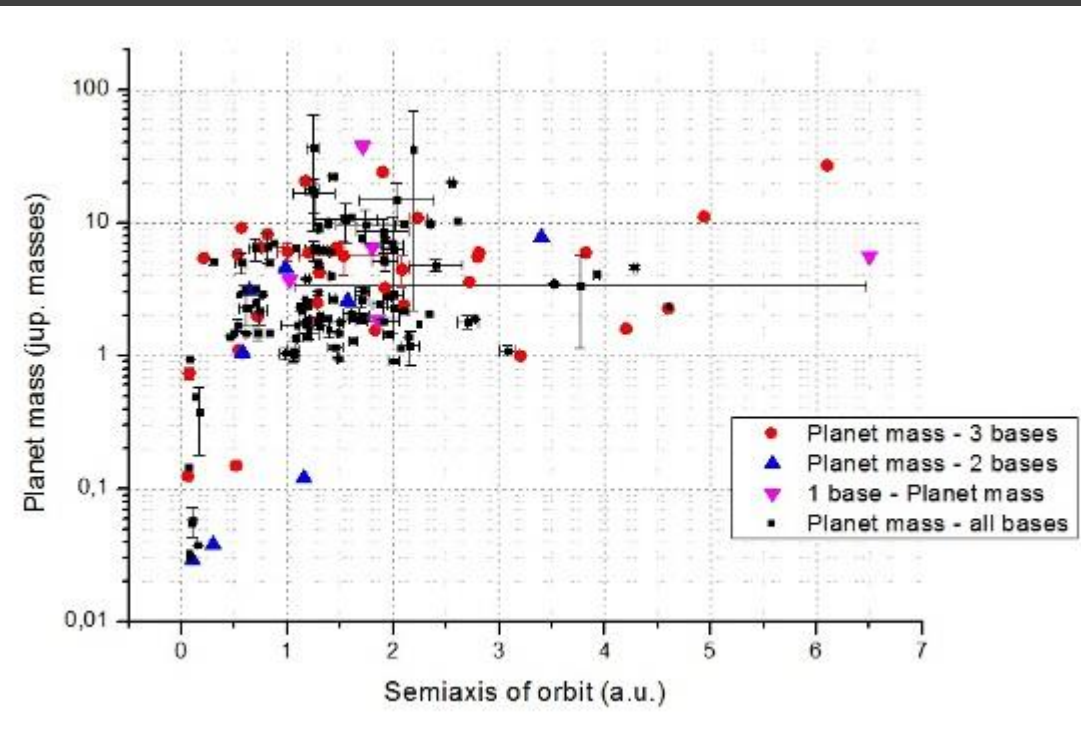
1.5 solar mass at the Main sequence.

Jupiter mass planet.

Tidal engulfment: AGB star

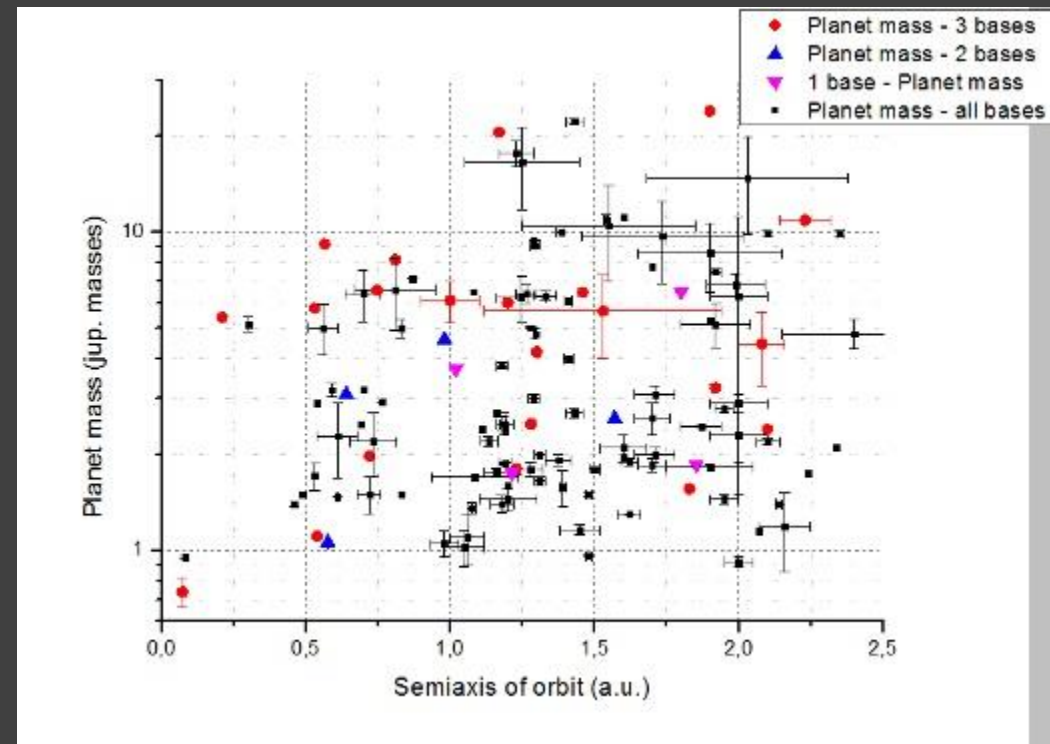


Planets around red giants



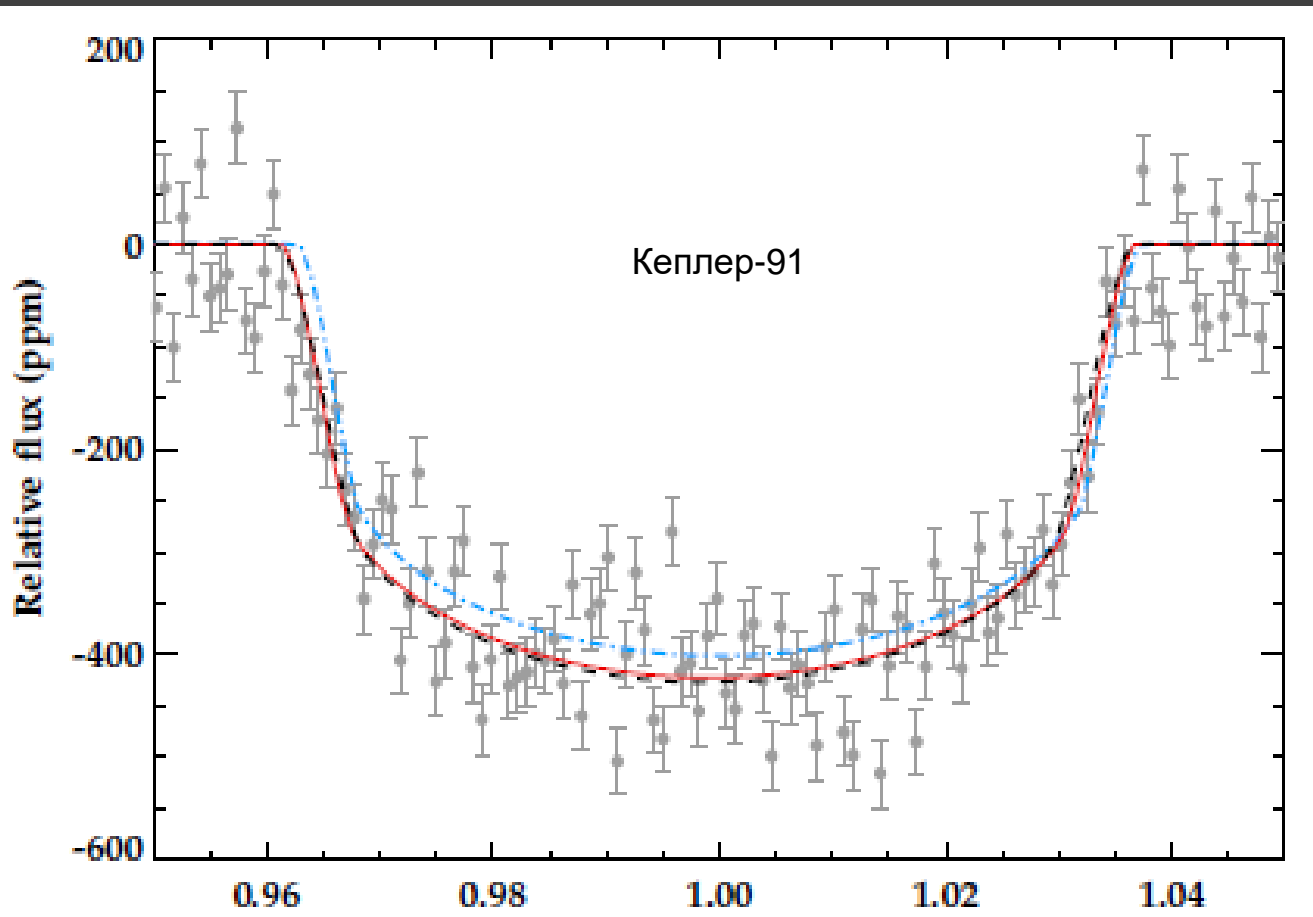
<http://www.astronet.ru/db/msg/1391325>

>100 planets



See also <https://www.lsw.uni-heidelberg.de/users/sreffert/giantplanets/giantplanets.php>

Планеты вокруг звезд-гигантов

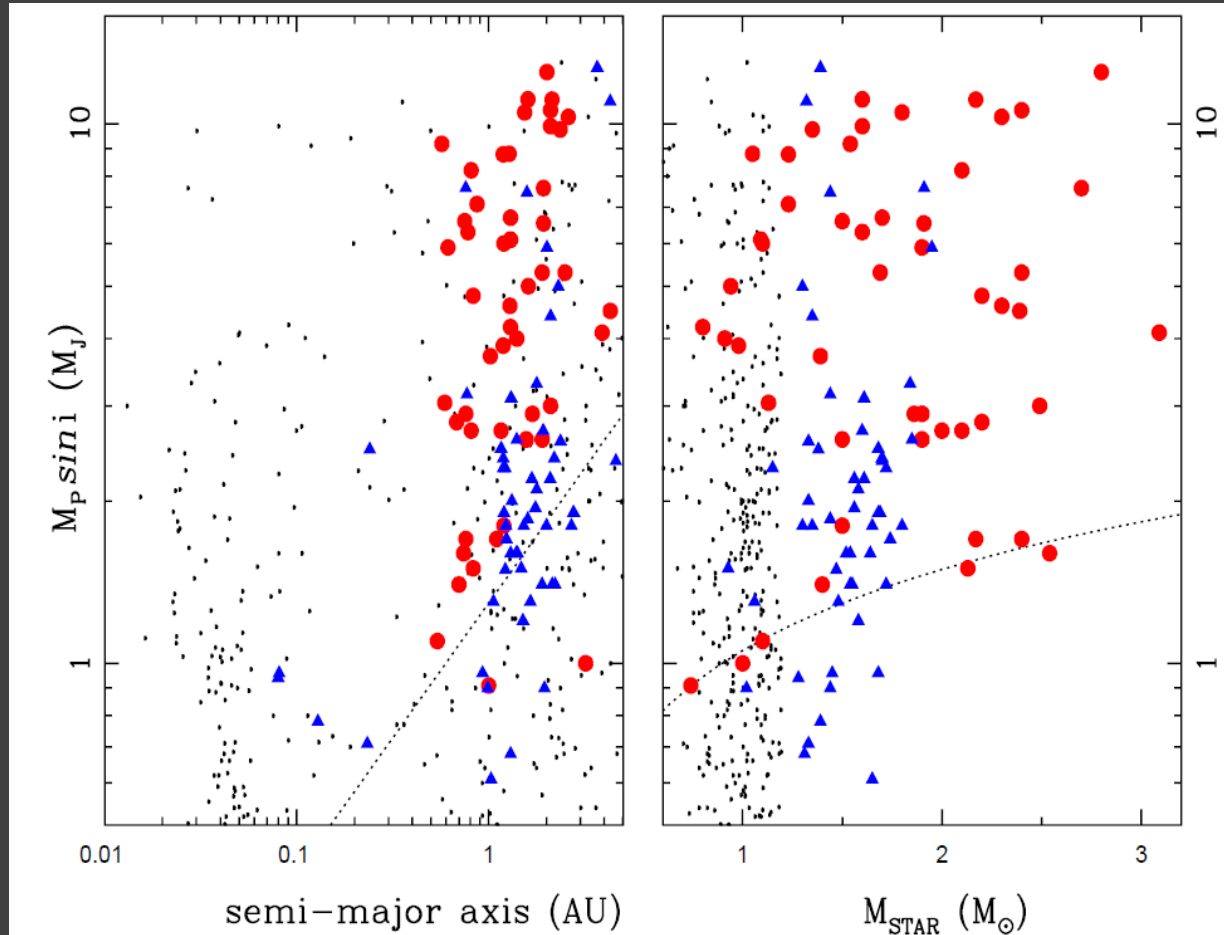


Известно несколько десятков таких планет. Они особенно интересны в связи с пониманием судьбы планетных систем на поздних стадиях эволюции звезд.

Планета Кеплер-91b, во-первых, является самой близкой к звезде среди планет у гигантов (<1.5 радиуса звезды над поверхностью). Звезда закрывает 10% неба!

Во-вторых, через <55 млн лет планета упадет на звезду.

Статистика планет вокруг гигантов



Все надежные планеты вокруг гигантов вращаются не слишком близко к самой звезде.

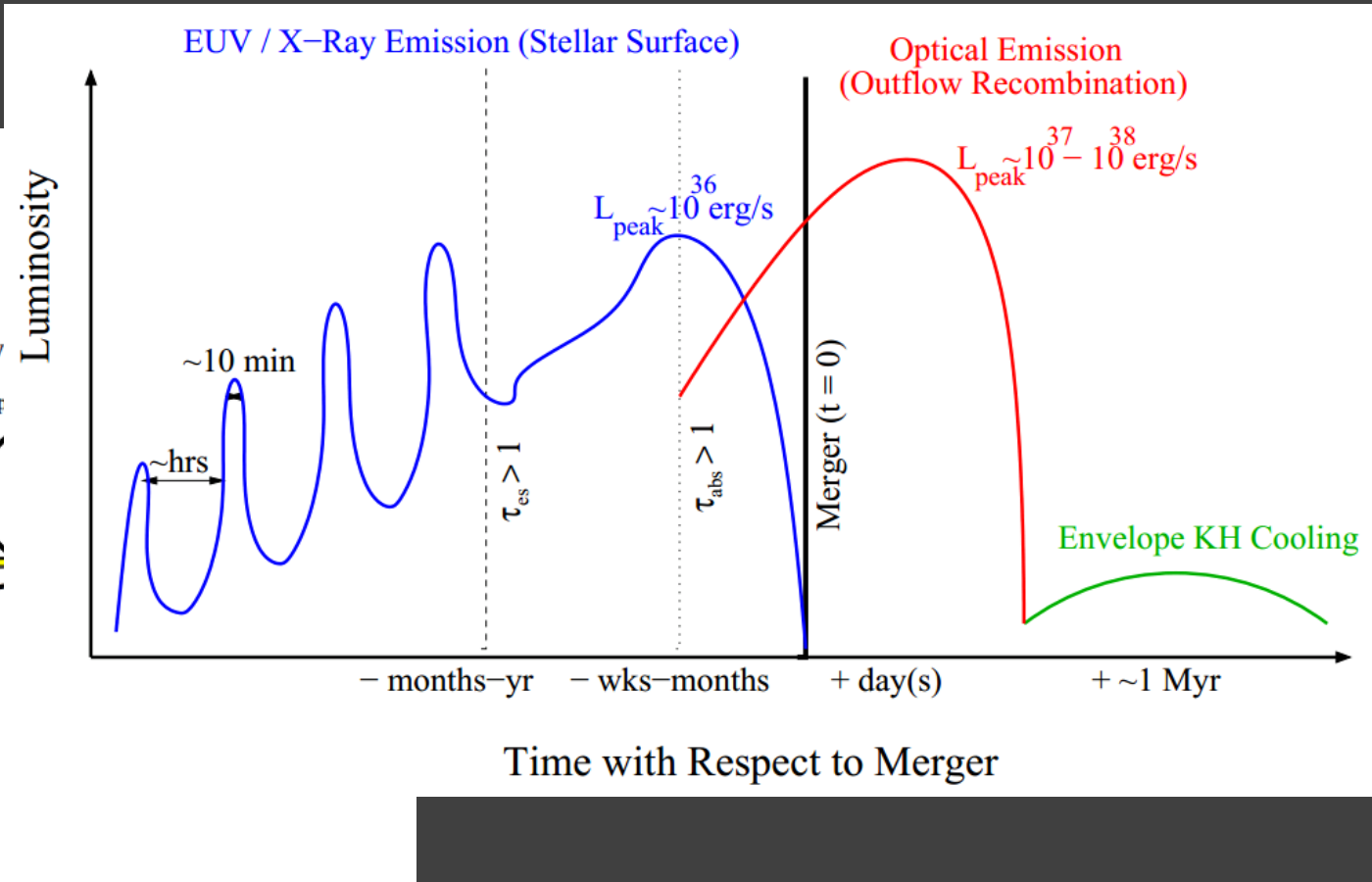
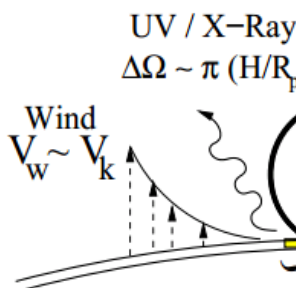
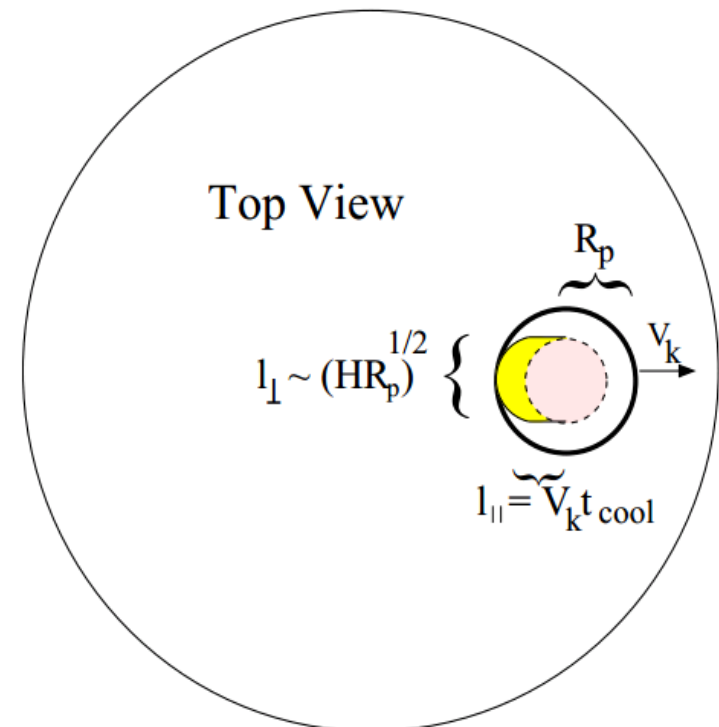
Концентрация планет на орбитах 0.5-0.9 а.е. может быть связана с приливными эффектами.

Планеты массивны, и авторы выдвигают гипотезу, что масса планет могла расти за счет вещества звезды.

Орбиты более круглые – за счет взаимодействия.

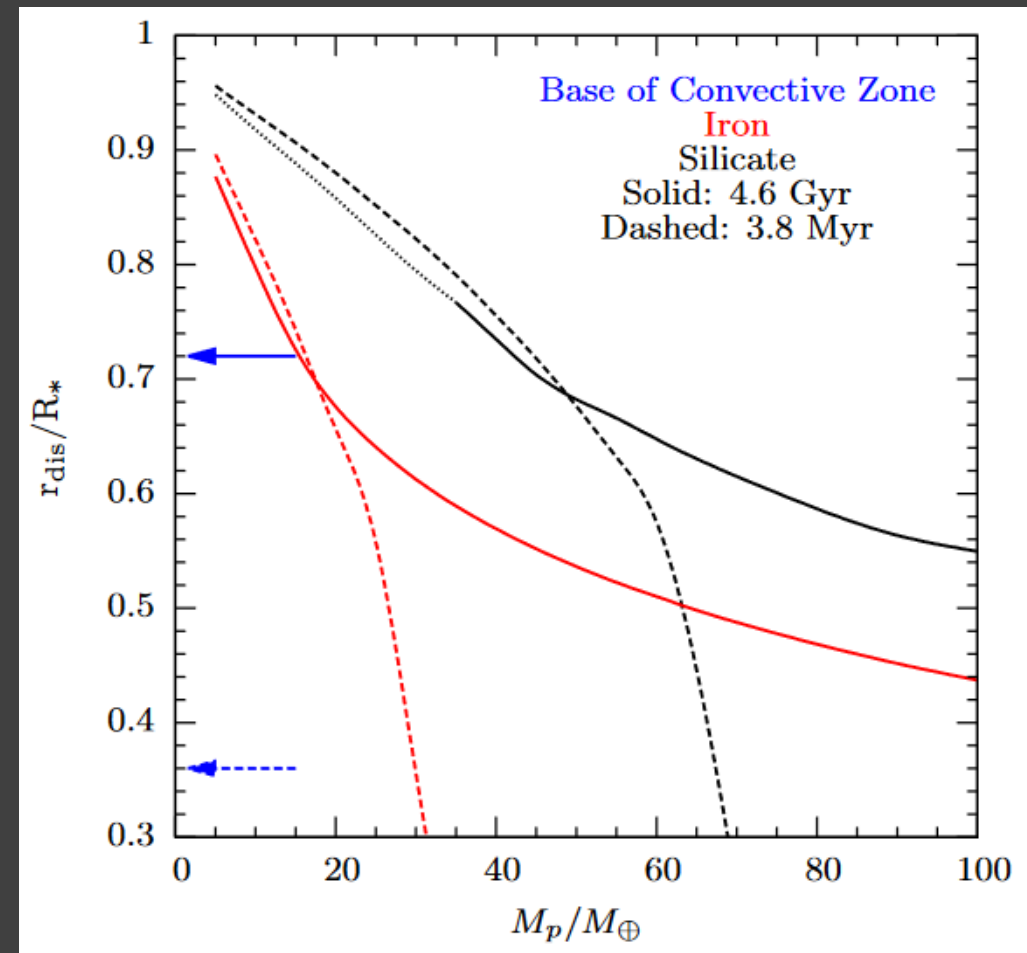
Слияния звезд и планет

Раз в несколько лет в Галактике.



Planet disruption

A dense planet that skipped the Roche lobe overflow is typically destroyed due to a global instability.



Stellar radiation

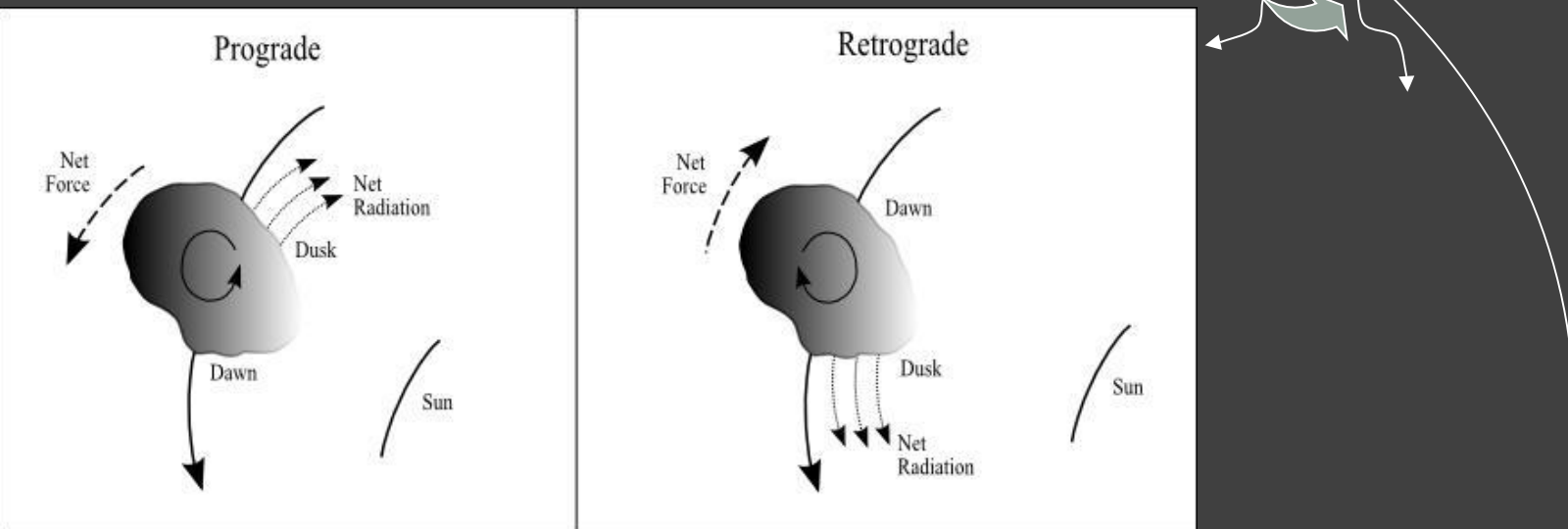
$$\begin{aligned}\frac{d^2\mathbf{r}}{dt^2} = & -\frac{G(M_\star + M_{\text{SB}})}{r^3}\mathbf{r} + \frac{A_{\text{SB}}L_\star}{4\pi M_{\text{SB}}cr^2} \left\{ \left(1 - \frac{\mathbf{v} \cdot \mathbf{r}}{cr}\right) \frac{\mathbf{r}}{r} - \frac{\mathbf{v}}{c} \right\} \\ & \times \left[Q_{\text{abs}}\mathbb{I} + Q_{\text{ref}}\mathbb{I} + \left\{ \mathcal{H} \left(R_{\text{SB}} - \sqrt{\frac{K_{\text{SB}}P_{\text{SB}}^{(\text{spin})}}{\pi\rho_{\text{SB}}\mathcal{C}_{\text{SB}}}} \right) \right\} w(Q_{\text{abs}} - Q_{\text{ref}})\mathbb{Y} \right].\end{aligned}$$

- Robertson-Poynting drag
- Radiation pressure
- Yarkovsky effect

Giant formation by itself influences small bodies, as the iceline is significantly shifted outwards.

Эффект Ярковского

При таком вращении горячая часть будет разгонять объект. Т.е., орбита будет раскручивающейся спиралью.



При обратном вращении тело будет тормозиться и приближаться к звезде.

Yarkovsky effect: how important

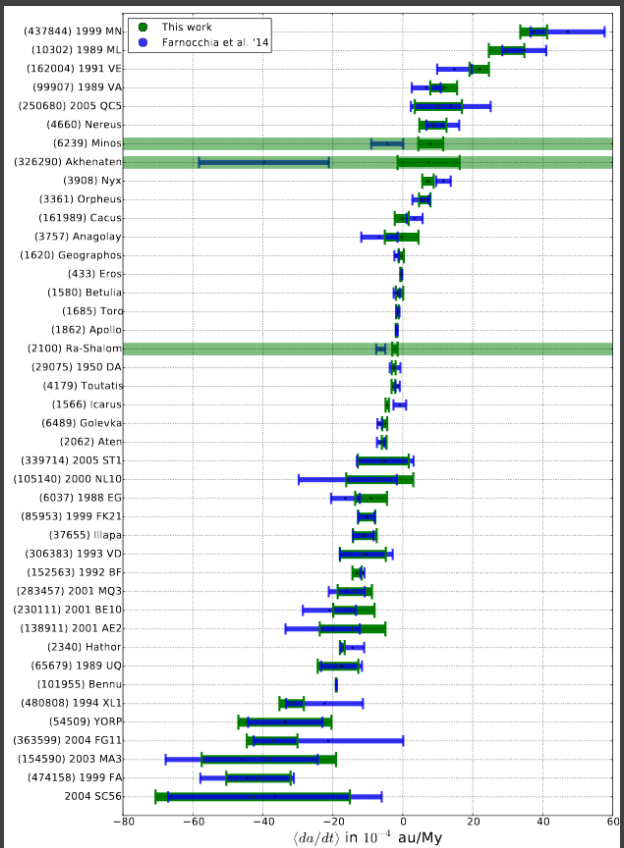
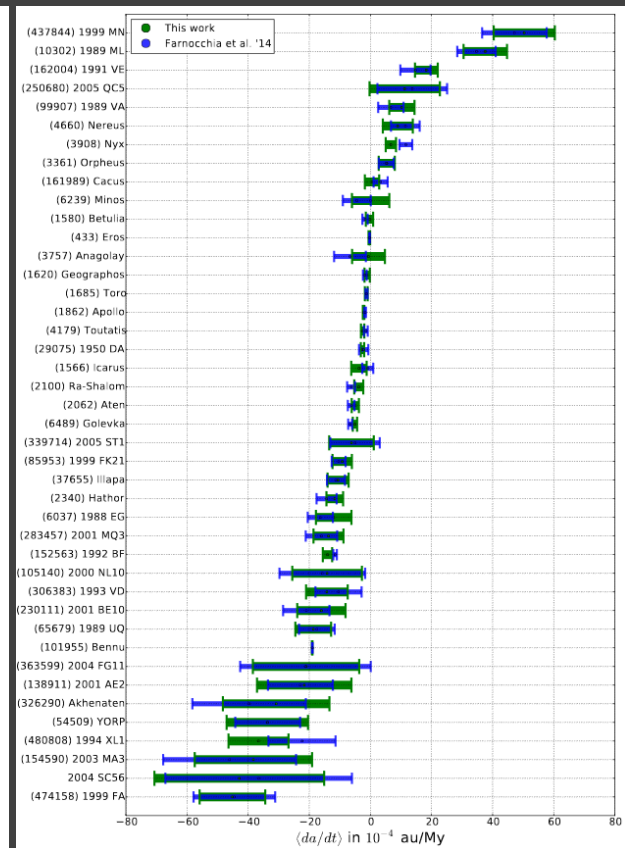
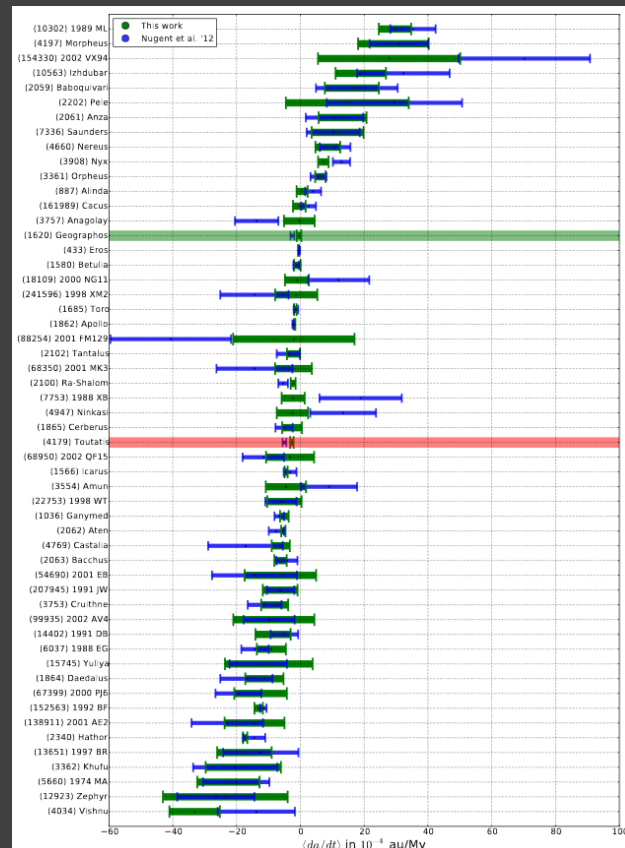
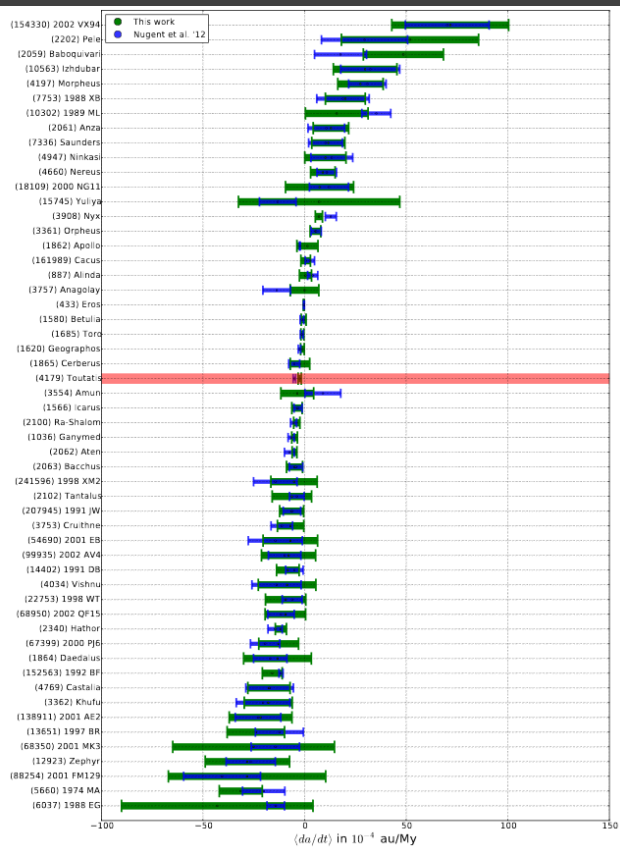
$$\left\langle \frac{de}{dt} \right\rangle^{(\text{Yarkovsky})} = \mathcal{O} \left(\frac{1}{c} \frac{A_{\text{SB}} L_\star}{8\pi M_{\text{SB}} n a^3} \right) \sim \frac{0.08}{\text{Myr}} \left(\frac{M_\star}{1 M_\odot} \right)^{-1/2} \left(\frac{\rho_{\text{SB}}}{2 \text{ g cm}^{-3}} \right)^{-1} \\ \times \left(\frac{R_{\text{SB}}}{1 \text{ km}} \right)^{-1} \left(\frac{a}{5 \text{ AU}} \right)^{-3/2} \left(\frac{L_\star}{10^3 L_\odot} \right)$$

$$\left\langle \frac{de}{dt} \right\rangle^{(\text{PR+rp})} = \mathcal{O} \left(\frac{1}{c^2} \frac{5 A_{\text{SB}} L_\star}{8\pi M_{\text{SB}} a^2} \right) \sim \frac{1.8 \times 10^{-5}}{\text{Myr}} \left(\frac{\rho_{\text{SB}}}{2 \text{ g cm}^{-3}} \right)^{-1} \\ \times \left(\frac{R_{\text{SB}}}{1 \text{ km}} \right)^{-1} \left(\frac{a}{5 \text{ AU}} \right)^{-2} \left(\frac{L_\star}{10^3 L_\odot} \right).$$

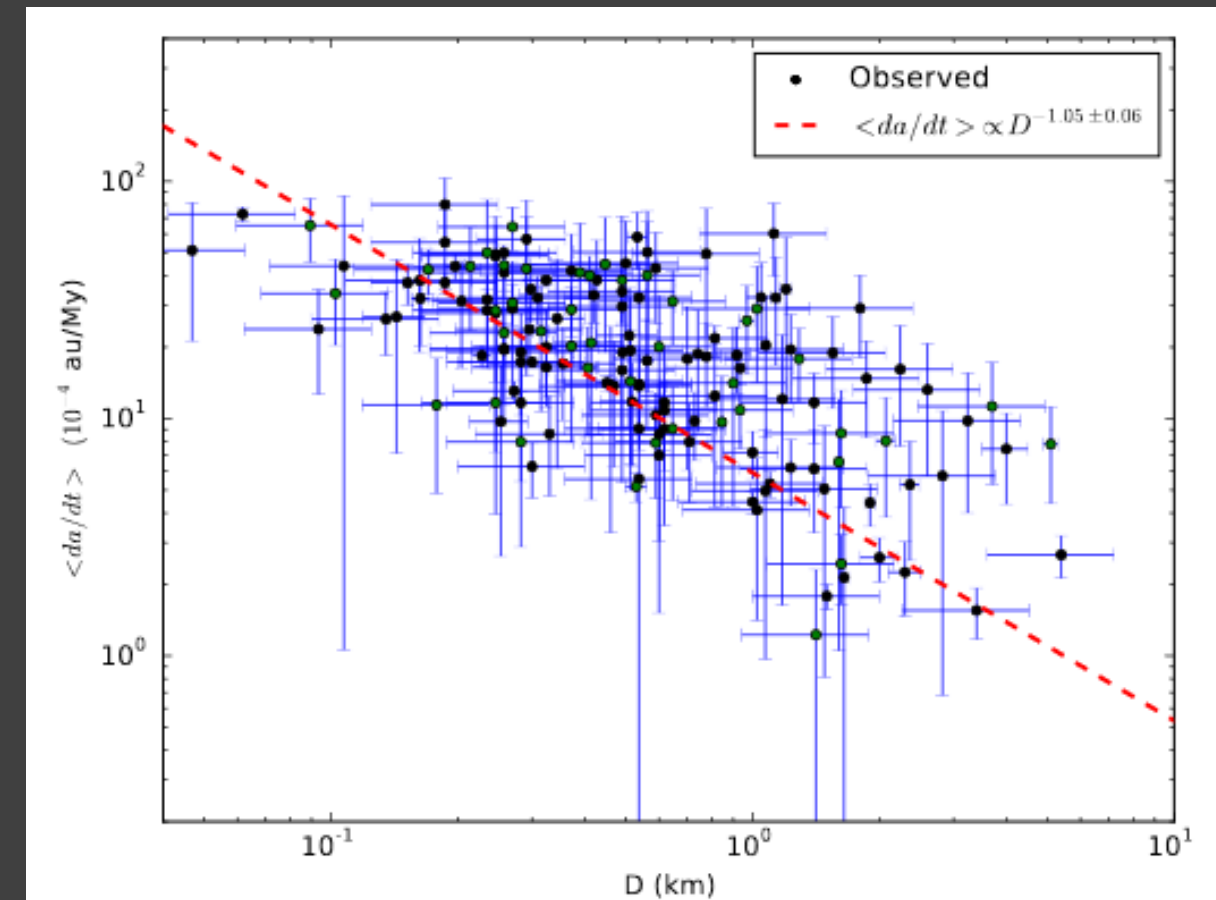
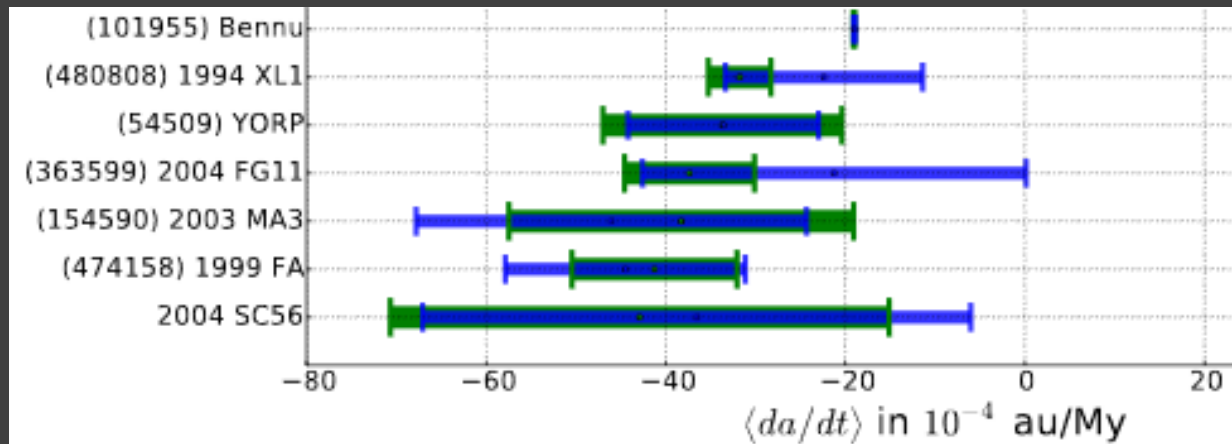
But note, that Yarkovsky effect is not working for small bodies!

Yarkovsky effect measurements

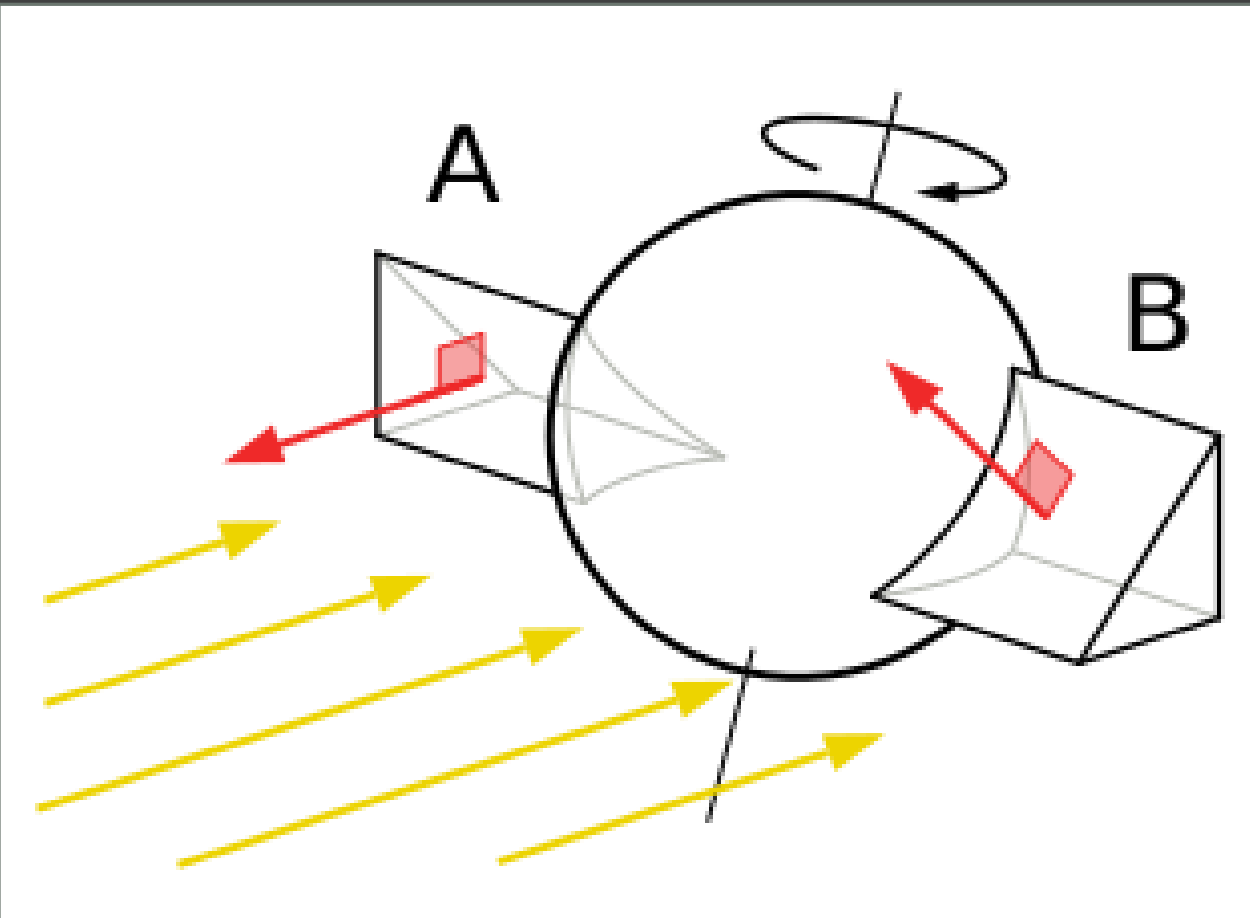
159 asteroids



Average drift and a fitting formula for it

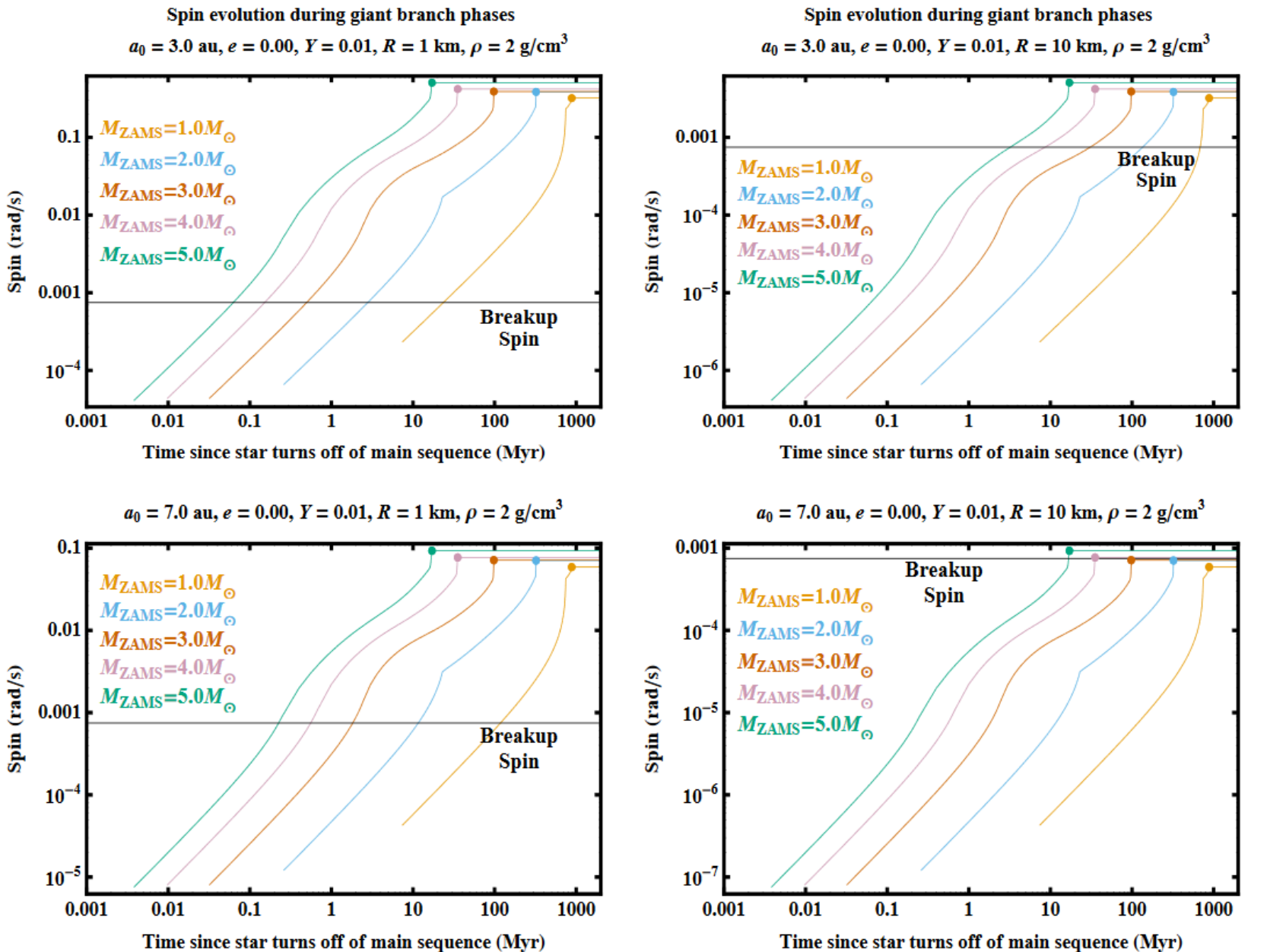


YORP effect

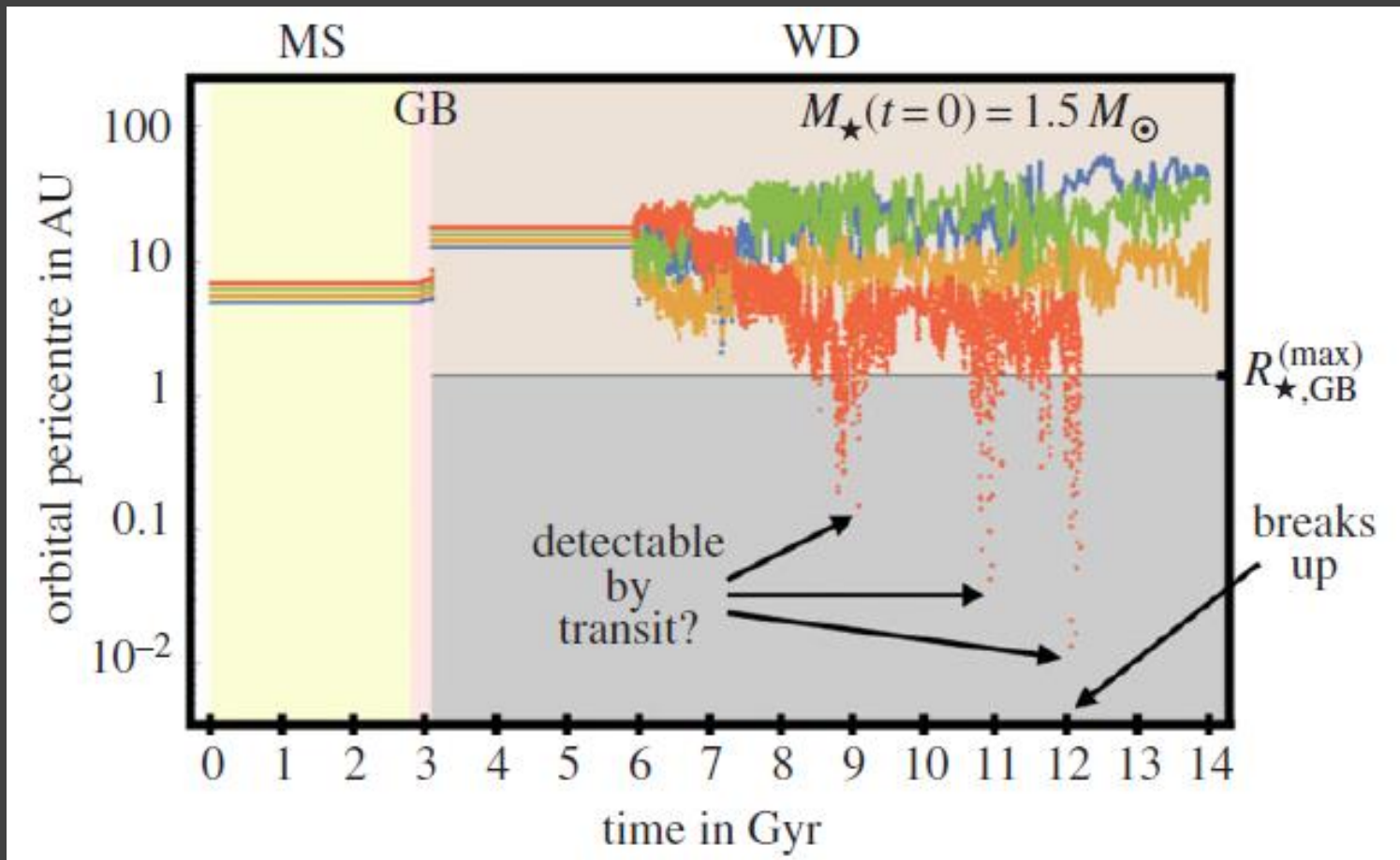


$$\left\langle \frac{ds_{SB}}{dt} \right\rangle = \frac{j}{2\pi\rho_{SB}R_{SB}^2} \left(\frac{1}{a^2\sqrt{1-e^2}} \right) \left(10^{17} \text{ kg m s}^{-2} \frac{L_\star}{L_\odot} \right),$$

$$s_{\text{crit}} = 2\pi \sqrt{\frac{G\rho_{SB}}{3\pi}} = 7.48 \times 10^{-4} \frac{\text{rad}}{\text{s}} \left(\frac{\rho_{SB}}{2 \text{ g cm}^{-3}} \right)^{1/2}$$



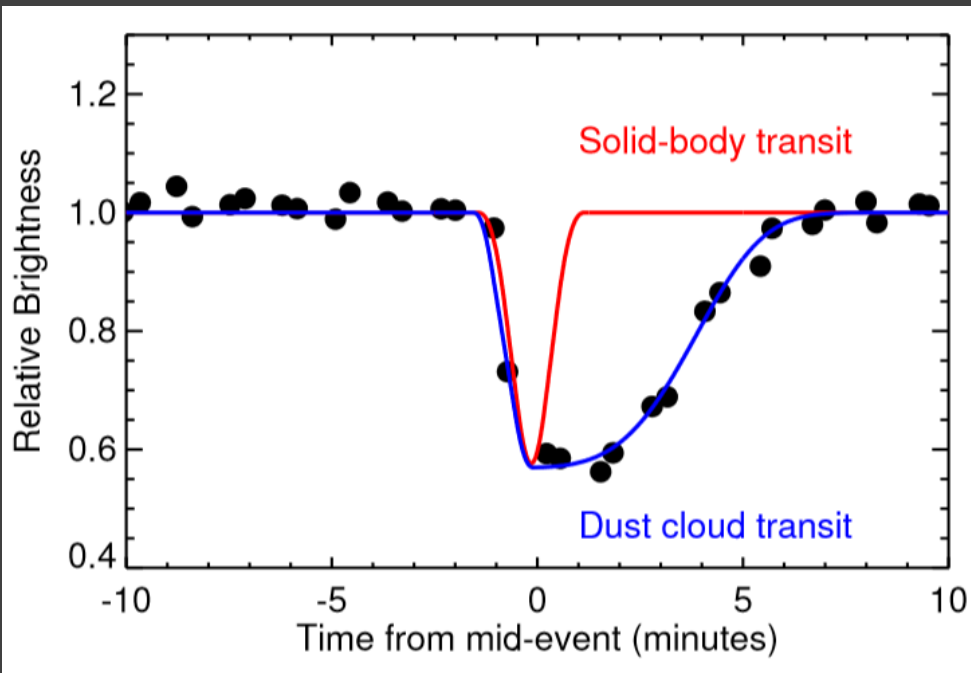
Instability after a WD formation



Four terrestrial mass planets.

The systems becomes unstable few Gyrs after a WD formation.

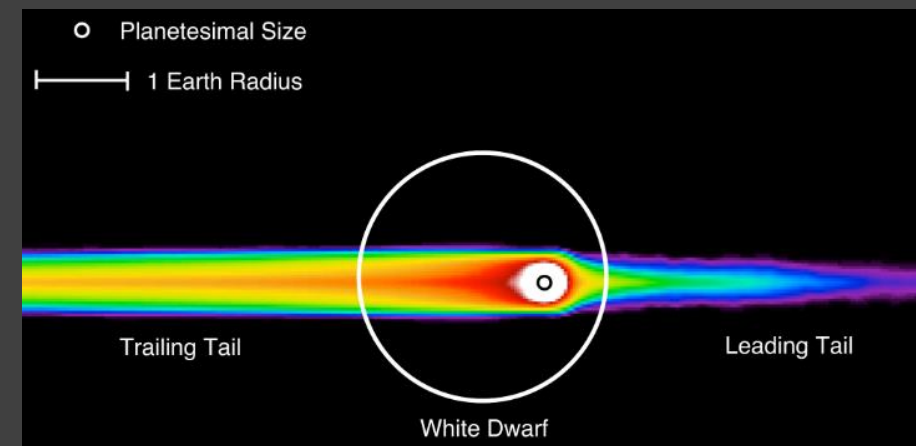
Разрушение планеты белым карликом



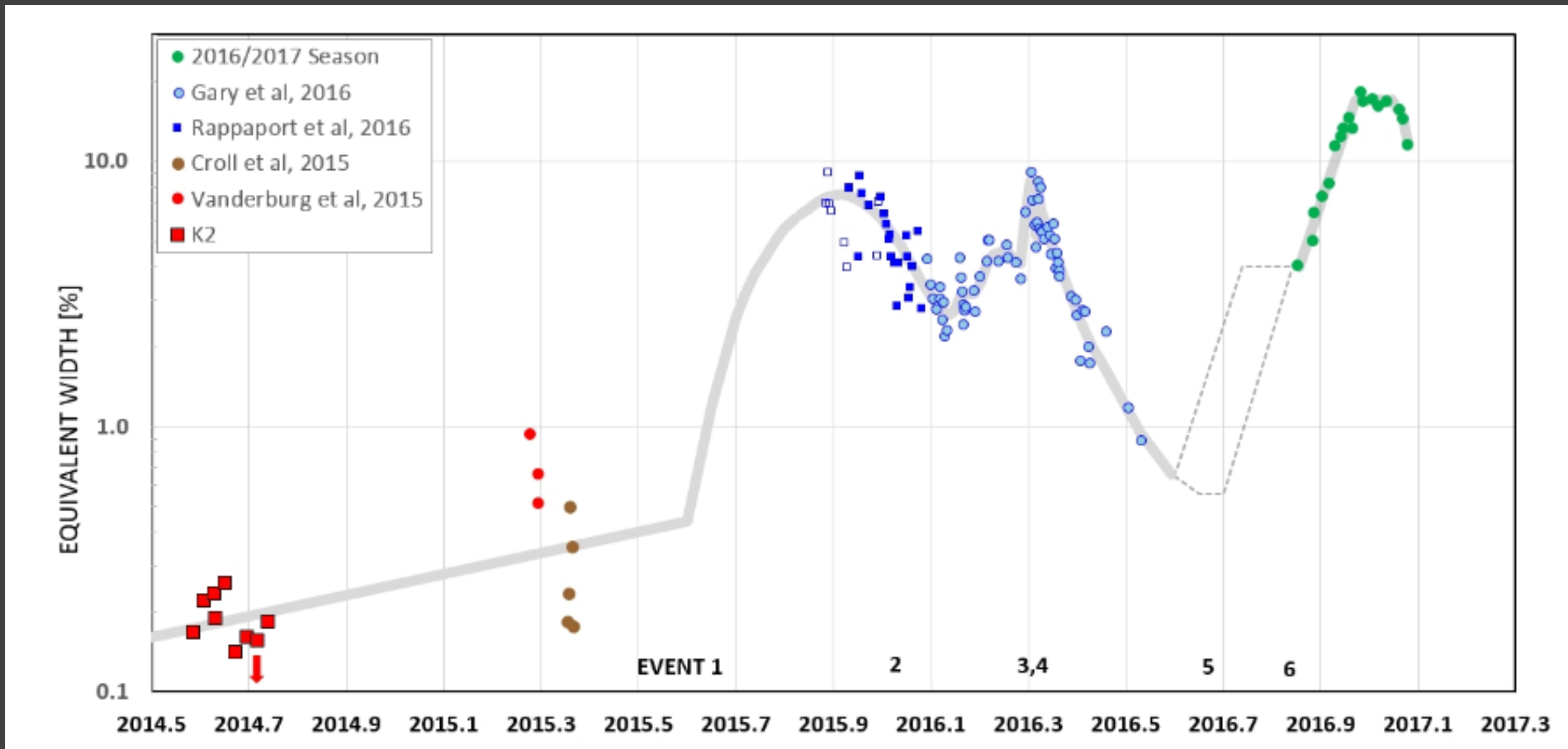
See a review on this source in arXiv: [1804.01997](https://arxiv.org/abs/1804.01997)

Удалось про наблюдать транзиты газопылевых облаков. Кроме того, видны аномалии в спектре белого карлика.

Наиболее вероятно, что было разорвано тело планетной массы. Хотя, может быть, и несколько тел типа крупных астероидов.



“Activity” of WD 1145+017

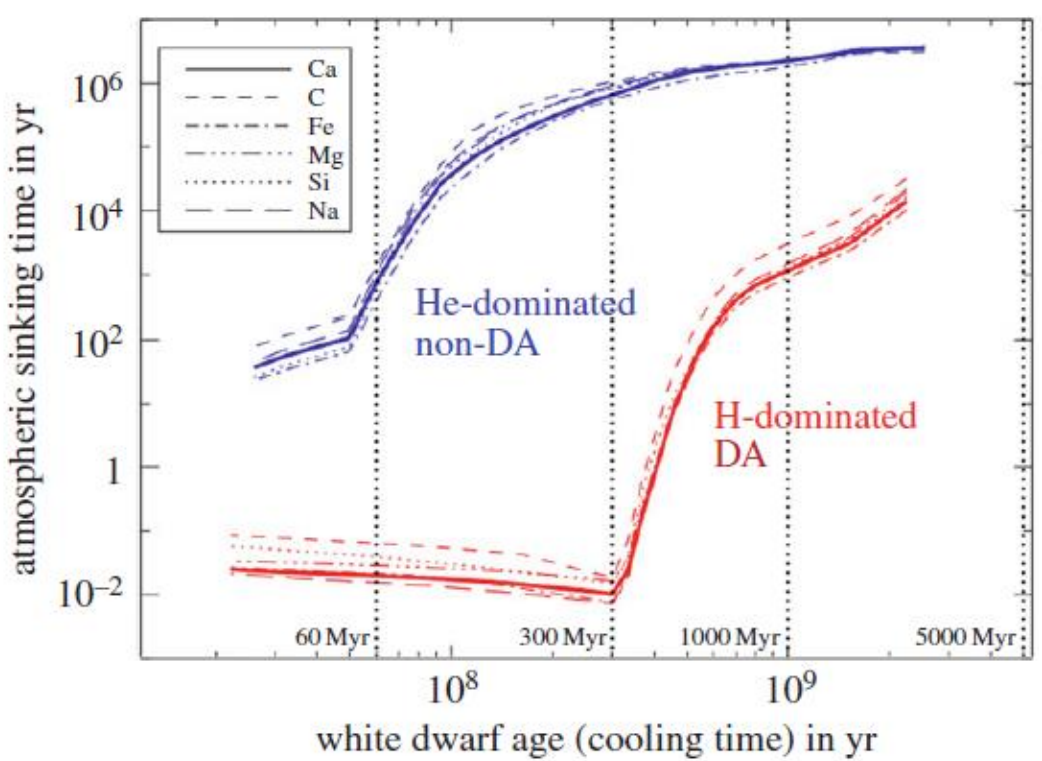


Origin of dust:

- sublimation of small bodies;
- dust production in collisions;
- asymmetry of a dust ring.

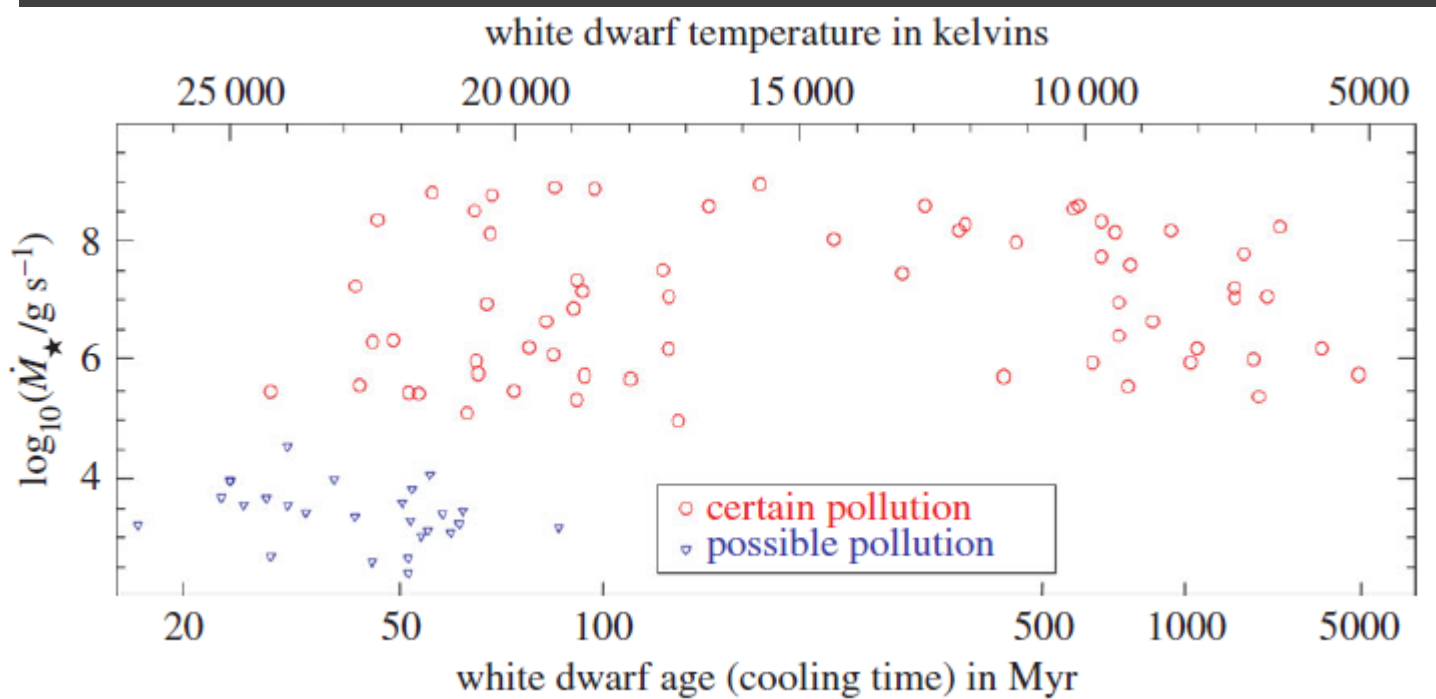
(The last one is less probable.)

WD pollution and sinking of the accreted matter

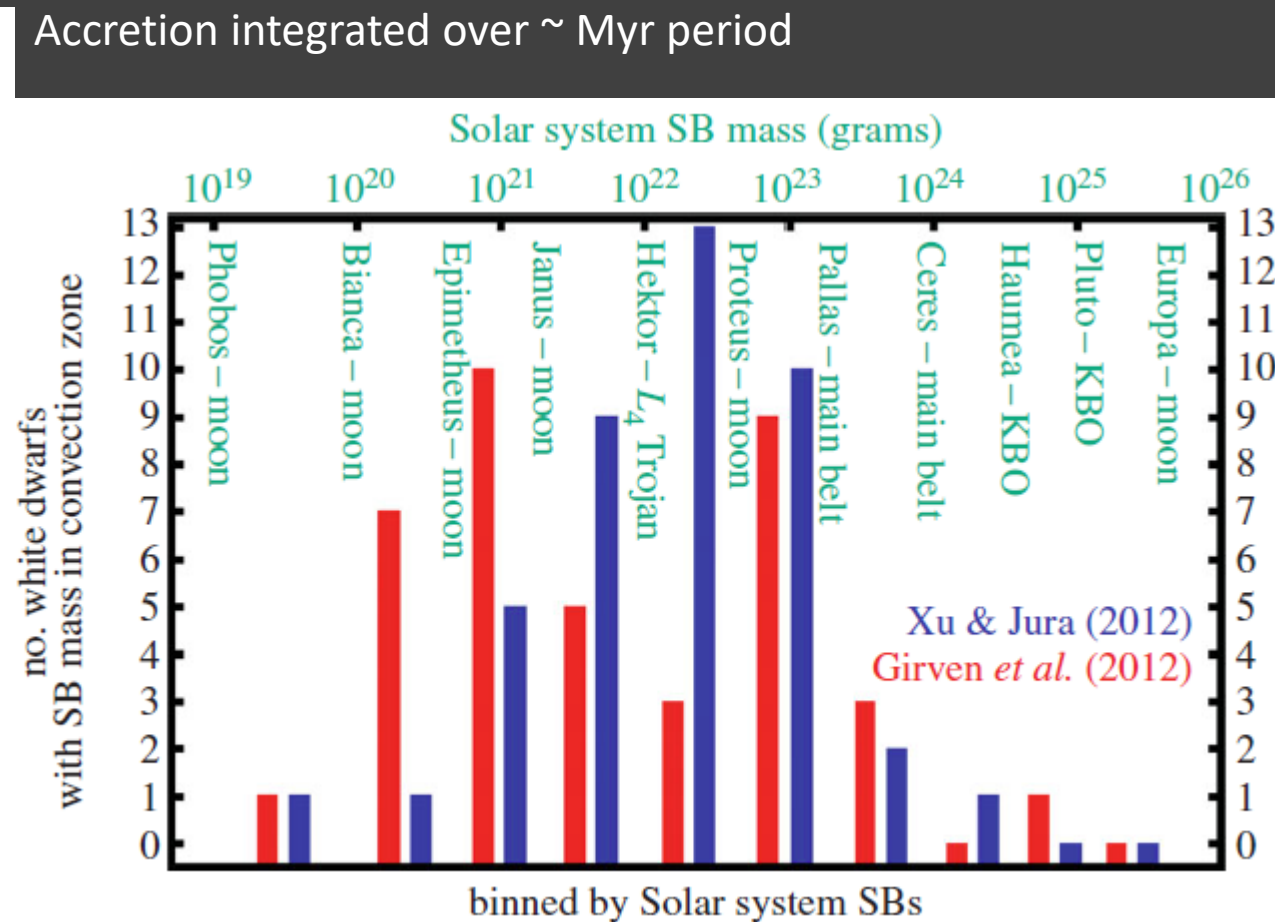
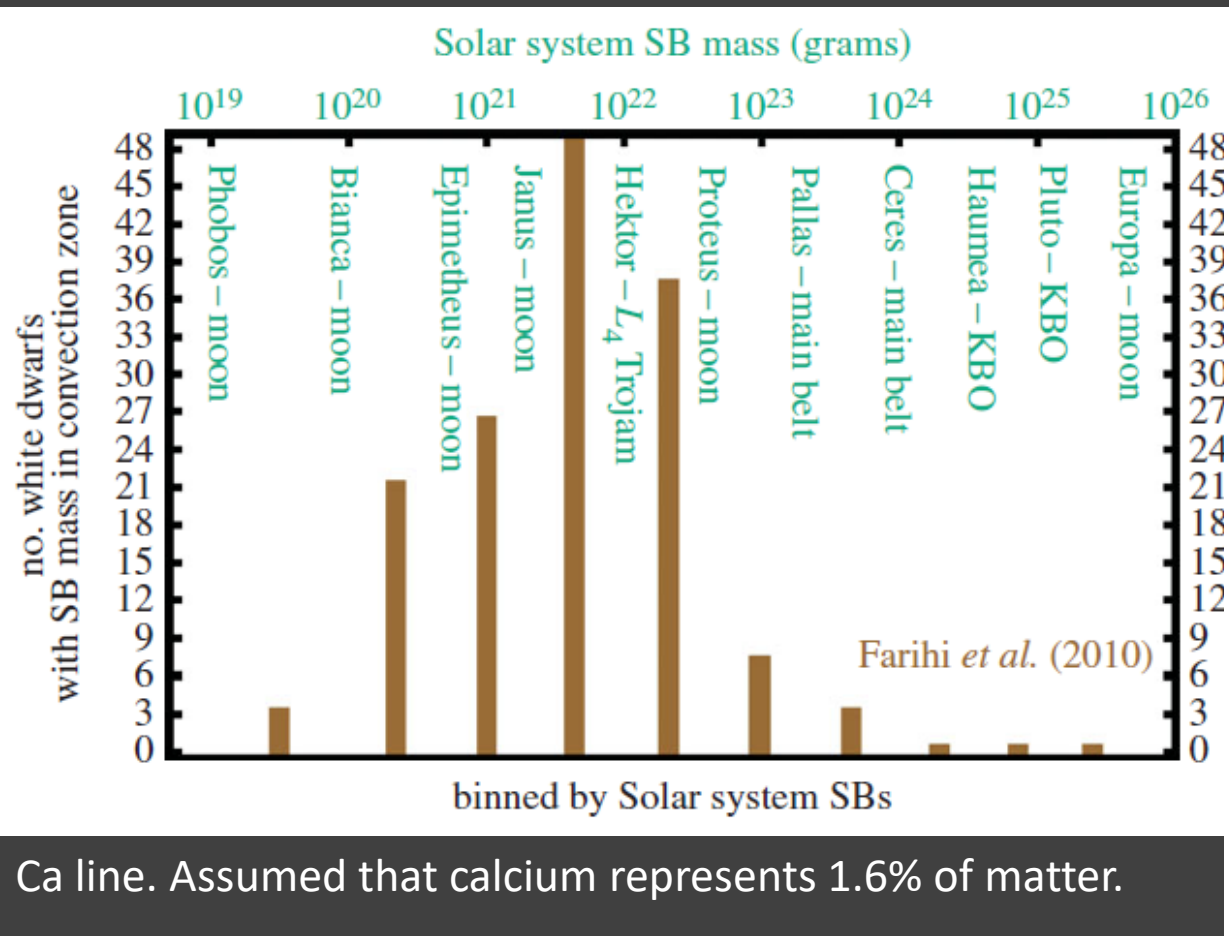


Accreted heavy elements rapidly sink down.

To support significant amount of heavy elements in a WD atmosphere it is necessarily to accrete matter continuously.
The amount of accreted matter can be estimated from spectral data.



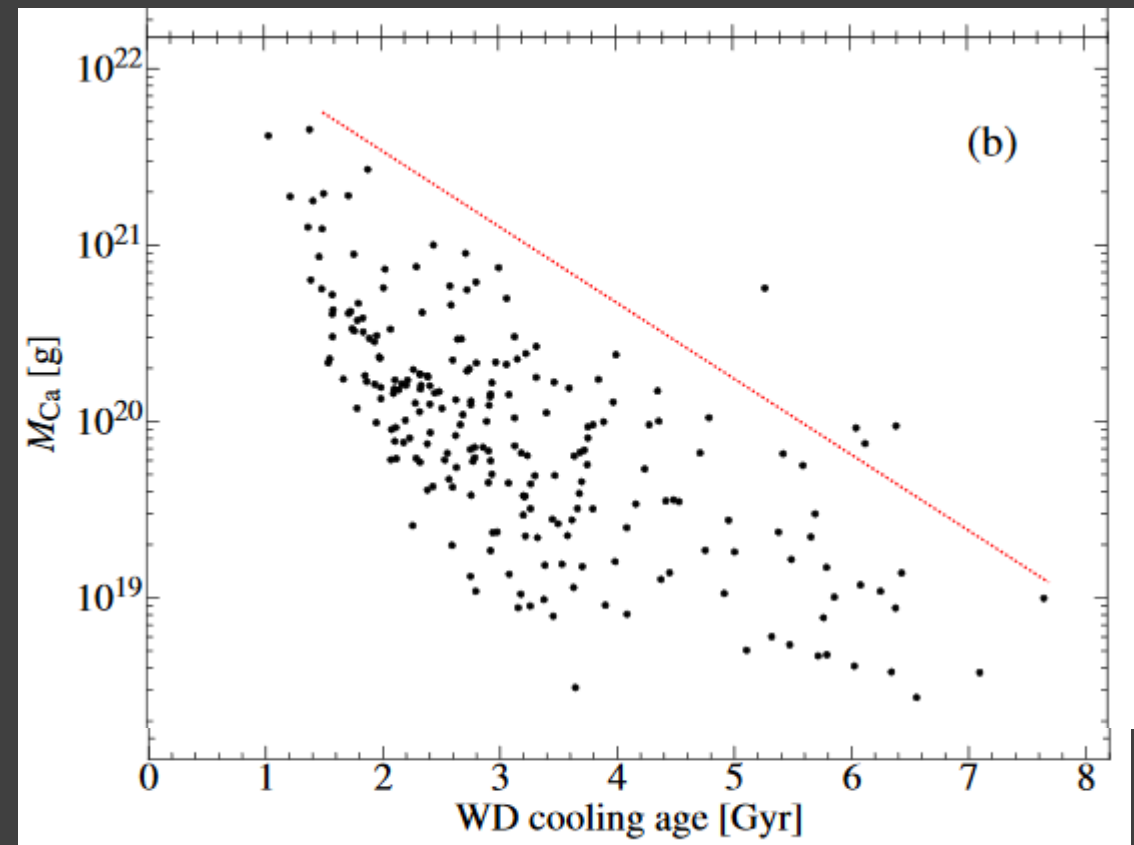
How much did these WDs accreted ?



Ca line. Assumed that calcium represents 1.6% of matter.

Evolution of accretion rate

Accretion rate decreases with time.
Characteristic time scale of the decay
is ~ 1 Gyr.



Planets around neutron stars

How to form:

- Survived planet
- Fall-back disc
- Evaporation of a companion
- Tidal disruption of a companion

$$a^{(\text{NS})} = \left[a^{(\text{MS})} \frac{M_{\star}^{(\text{NS})} + M_{\text{SB}}}{M_{\star}^{(\text{MS})} + M_{\text{SB}}} \right]$$

$$\times \left[1 - \frac{2(1 + e^{(\text{MS})} \cos f^{(\text{MS})})}{1 - e^{(\text{MS})^2}} \left(\frac{M_{\star}^{(\text{MS})} - M_{\star}^{(\text{NS})}}{M_{\star}^{(\text{MS})} + M_{\text{SB}}} \right) - \frac{a^{(\text{MS})}(v^{(\text{NS})^2} - v^{(\text{MS})^2})}{G(M_{\star}^{(\text{MS})} + M_{\text{SB}})} \right]^{-1}$$

See a detailed discussion about planet formation around NSs in Martin et al. (2016) arXiv: 1609.06409.

$$e^{(\text{NS})^2} = 1 - (1 - e^{(\text{MS})^2}) \times \left[\frac{M_{\star}^{(\text{NS})} + M_{\text{SB}}}{M_{\star}^{(\text{MS})} + M_{\text{SB}}} \right]^{-2} \left[1 - 2 \left(\frac{M_{\star}^{(\text{MS})} - M_{\star}^{(\text{NS})}}{M_{\star}^{(\text{MS})} + M_{\text{SB}}} \right) \left(\frac{1 + e^{(\text{MS})} \cos f^{(\text{MS})}}{1 - e^{(\text{MS})^2}} \right) \right].$$

$$M_{\star}^{(\text{MS})} - M_{\star}^{(\text{NS})} > \left[\frac{M_{\star}^{(\text{MS})} + M_{\text{SB}}}{2} \right] \left(\frac{1 - e^{(\text{MS})^2}}{1 + e^{(\text{MS})} \cos f^{(\text{MS})}} \right) \left(1 - \frac{a^{(\text{MS})}(v^{(\text{NS})^2} - v^{(\text{MS})^2})}{G(M_{\star}^{(\text{MS})} + M_{\text{SB}})} \right)$$

In catalogues

Planet	Mass (M _{Jup})	Radius (R _{Jup})	Period (day)	<i>a</i> (AU)	<i>e</i>	<i>i</i> (deg)	Ang. dist. (arcsec)	Discovery	Update
PSR B0943+10 c	2.6	—	1460	2.9	—	—	—	2014	2017-10-26
PSR B0943+10 b	2.8	—	730	1.8	—	—	—	2014	2017-10-26
PSR B0329+54 b	0.0062	—	10139.34	10.26	0.236	—	—	2017	2017-10-25
PSR 0636 b	8	—	0.067	—	—	—	—	2016	2016-10-28
PSR B1957+20 b	22	—	0.38	—	—	—	—	1988	2016-07-23
PSR J1807-2459 A b	9.4	—	0.07	—	0	—	—	2000	2015-10-29
PSR J2241-5236 b	12	—	0.1456722395	—	0	—	—	2011	2015-10-26
PSR J2051-0827 b	28.3	—	0.099110266	—	0	—	—	1996	2015-10-26
PSR 1257 12 d	0.012	—	98.2114	0.46	0.0252	47	0.00092	1992	2014-02-25
PSR 1257 12 c	0.013	—	66.5419	0.36	0.0186	53	0.00072	1992	2014-02-25
PSR 1257 12 b	0.00007	—	25.262	0.19	0	—	0.00038	1992	2014-02-25
PSR B1620-26 b	2.5	—	36525	23	—	—	0.006053	2003	2013-07-11
PSR 1719-14 b	1	0.4	0.090706293	0.0044	0.06	—	—	2011	2012-07-24

Exoplanet.eu

vs.

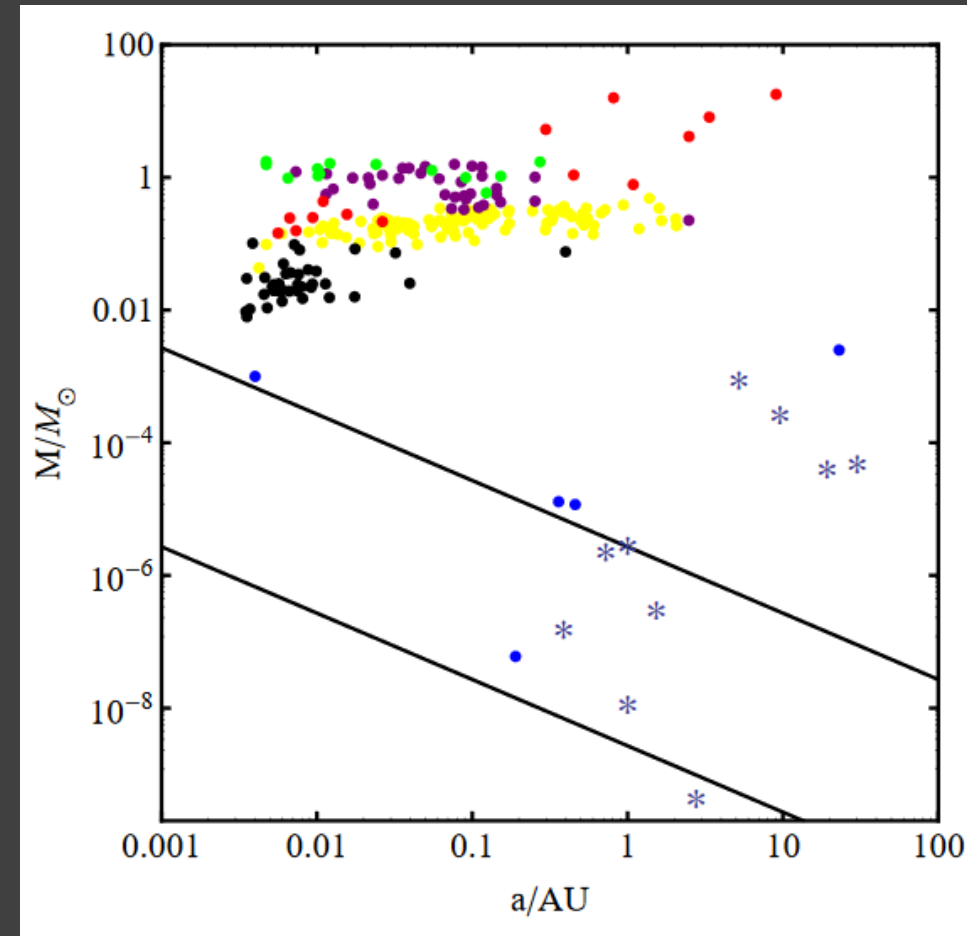
Exoplanets.org

Name	Msin(i) mjupiter ±	Semi-Major Axis au ±	Orbital Period day ±	Orbital Eccentricity ±	ω deg ±	Time of Periastron jd ±	Velocity Semiamplitude m/s ±	Orbit Reference	First Reference
PSR B1257+12 B	0.3214	66.54190	0.01860	250.40	2449768.10			Konacki 2003	Wolszczan 1992
PSR B1257+12 C	0.4166	98.21140	0.02520	108.30	2449766.50			Konacki 2003	Wolszczan 1994
PSR B1257+12 A	0.1685	25.2620	0	90	2449765.10			Konacki 2003	Wolszczan 1992

Название	Масса, M_J	Период, дни	полусось, е.а.	Год
PSR 1257 +12 b	7e-05	25.262	0.19	1992
PSR 1257 +12 c	0.013	66.5419	0.36	1992
PSR 1257 +12 d	0.012	98.2114	0.46	1992
PSR 1719-14 b	1.0	0.090706293	0.0044	2011
PSR B0329+54 b	0.0062	10139.34	10.26	2017
PSR B0943+10 b	2.8	730.0	1.8	2014
PSR B0943+10 c	2.6	1460.0	2.9	2014
PSR B1620-26 (AB) b	2.5	36525.0	23.0	2003
PSR B1957+20 b	22.0	0.38	—	1988
PSR 0636 b	8.0	0.067	—	2016
PSR J1807-2459 A b	9.4	0.07	—	2000
PSR J2051-0827 b	28.3	0.099110266	—	1996
PSR J2241-5236 b	12.0	0.1456722395	—	2011
PSR J2322-2650 b	~1	0.32	—	2017

Название		Масса, M_J	Год открытия
PSR 1257 +12 b	mPSR	7e-05	1992
PSR 1257 +12 c	mPSR	0.013	1992
PSR 1257 +12 d	mPSR	0.012	1992
PSR 1719-14 b	mPSR, destroyed WD?, evaporated?	1.0	2011 arXiv: 1108.5201
PSR B0329+54 b	Doubtful, Pushchino	0.0062	2017 arXiv:1710.01153
PSR B0943+10 b	Doubtful, Pushchino	2.8	2014
PSR B0943+10 c		2.6	2014
PSR B1620-26 (AB) b	Globular cluster, triple system with a WD	2.5	2003
PSR B1957+20 b	mPSR, evaporation	22.0	1988
PSR 0636 b	mPSR, black widow	8.0	2016 arXiv: 1602.00655
PSR J1807-2459 A b	mPSR, GC	9.4	2000 astro-ph/0010243
PSR J2051-0827 b	mPSR, evaporating	28.3	1996
PSR J2241-5236 b	mPSR	12.0	2011 arXiv: 1102.0648
PSR J2322-2650	mPSR, black widow?	~1	2017 arXiv: 1712.04445

Компаньоны радиопульсаров: обычные звезды, нейтронные звезды, планеты, остатки чего-то и белые карлики



Красные – звезды,
зеленые – НЗ,
фиолетовые – белые карлики
(CO и NeOMg),
Желтые – гелиевые БК,
синие – планеты,
черные – маломассивные
тела, видимо,
являющиеся
остатками
разрушения
компаньонов,
«снежинки» – планеты
Солнечной
системы.

$$M_{\text{planet}} \sin(i) \approx 0.90 \left(\frac{\tau_{\text{pl}}}{1 \text{ ms}} \right) \left(\frac{a}{1 \text{ AU}} \right)^{-1} M_{\oplus}$$

Для нормальных $\tau_{\text{pl}} = 1 \text{ ms}$,
для миллисекундных – $1 \mu\text{s}$.

Первые планеты вокруг пульсара

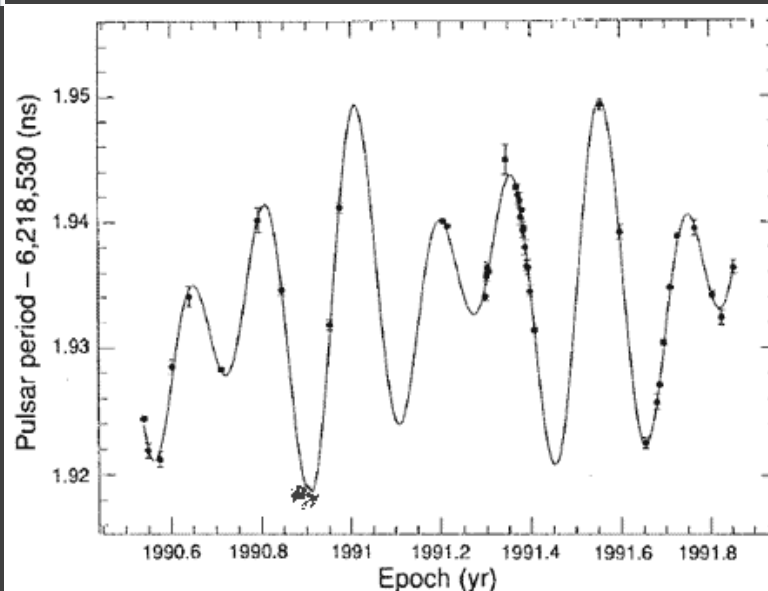
Companion (in order from star)	Mass	Semimajor axis (AU)	Orbital period (days)	Eccentricity	Inclination
A (b / Draugr)	$0.020 \pm 0.002 M_{\oplus}$	0.19	25.262 ± 0.003	0.0	$\sim 50^{\circ}$
B (c / Poltergeist)	$4.3 \pm 0.2 M_{\oplus}$	0.36	66.5419 ± 0.0001	0.0186 ± 0.0002	53°
C (d / Phobetor)	$3.9 \pm 0.2 M_{\oplus}$	0.46	98.2114 ± 0.0002	0.0252 ± 0.0002	47°

Не исключено, что этот пульсар молодой, а не раскрученный!
Это важно для выбора механизма формирования планет

Wolszczan & Frail (1992)

Прецизионные измерение времени прихода импульсов пульсара позволили выявить неоднородности, связанные с присутствием трех легких планет в этой системе.

Орбиты планет лежат примерно в одной плоскости.



Вокруг пульсара

PSR B1620-26

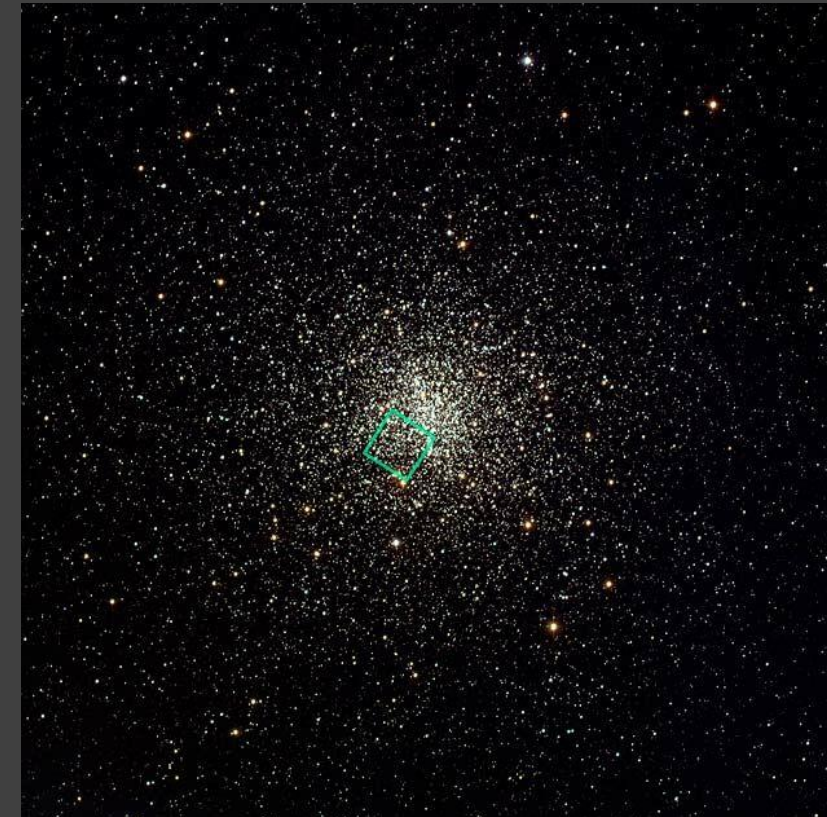
Старый миллисекундный пульсар
с периодом 0.011 мсек.

Пульсар (нейтронная звезда)
в паре с белым карликом.
Вокруг этой пары крутится
планета с массой 2.5 массы Юпитера.



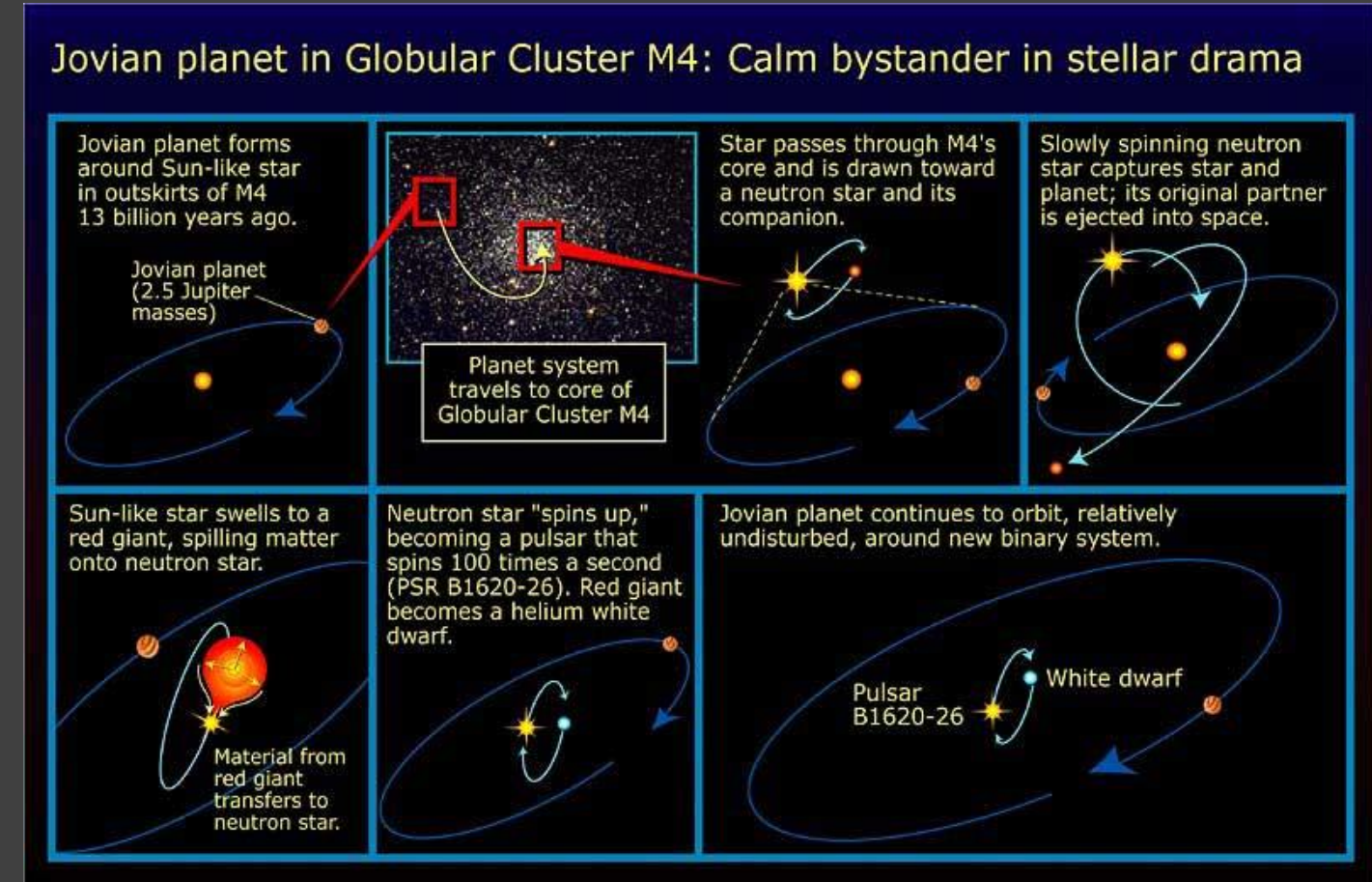
Предполагается, что планета со звездой
были захвачены нейтронной звездой
в двойной системе. Партнер нейтронной
звезды был вышвырнут.
Затем оставшаяся звезда превратилась
в белого карлика, и сформировалась
наблюдаемая сейчас система.

Шаровое скопление M4



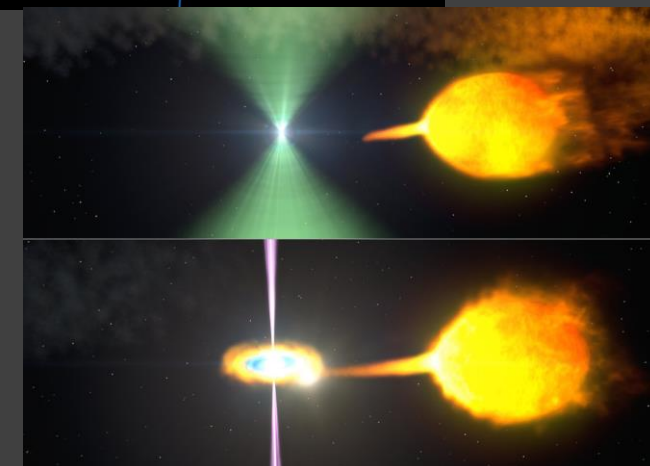
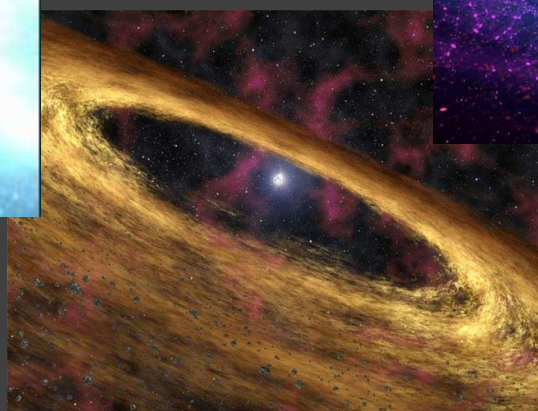
Пульсар, белый карлик и планета

Тройная система в шаровой скоплении M4:
пульсар PSR B1620-26, белый карлик и планета.



Механизмы формирования

- Выжившие планеты (поколение 1)
- Возвратная акреция (поколение 2)
- Образование после разрушения компаньона (поколение 3)
- Испарение или перетекание компаньона («черная вдова»)
- Захват или обмен при тесном взаимодействии



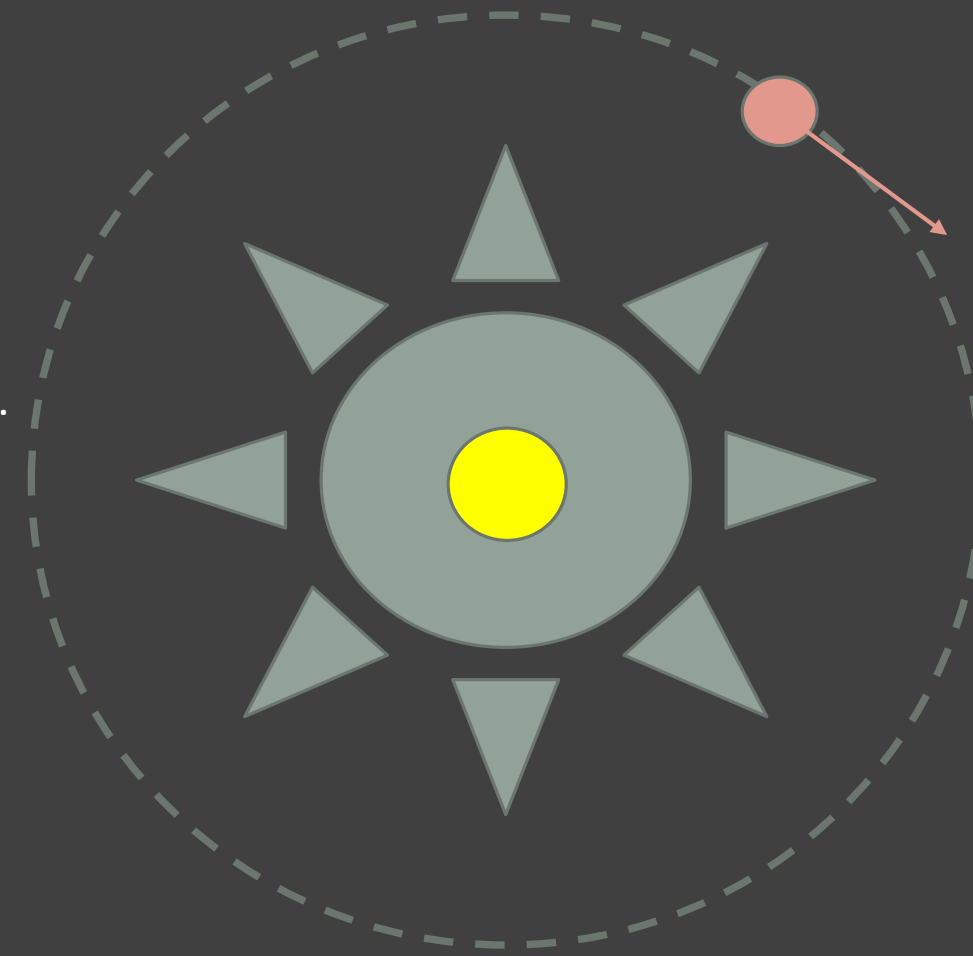
Распад системы после взрыва сверхновой

У массивных звезд редко встречаются планеты
(возможно, из-за большой УФ светимости, разрушающей диск).

Даже если планеты сформировались,
то все с $a < 4$ а.е. будут поглощены гигантом.

При взрыве сверхновой быстро сбрасывается большая масса,
что чаще всего приводит к разрушению системы.

Выжившие планеты должны иметь большие эксцентриситеты и полуоси.

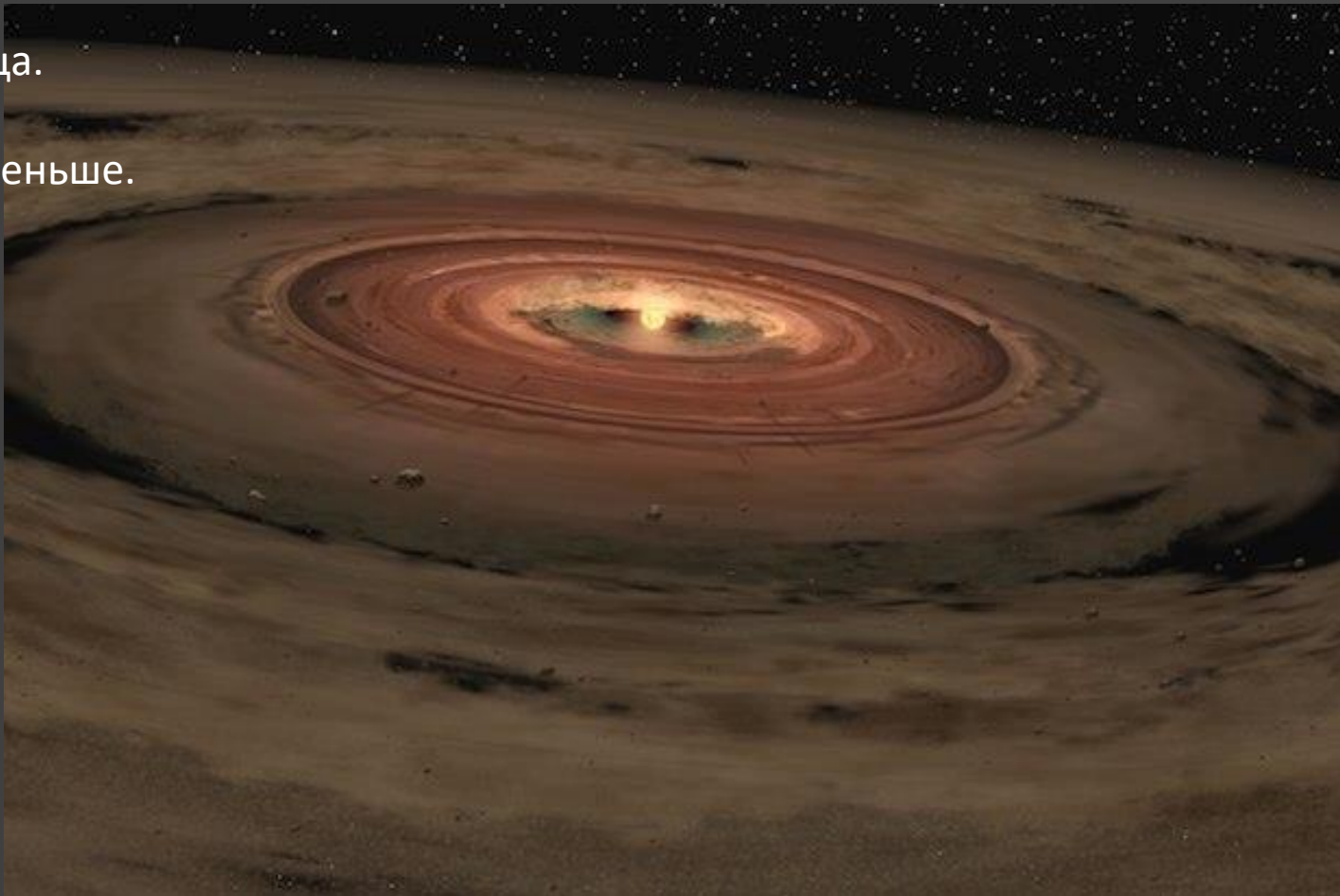


Возвратная аккреция

Масса захваченного вещества 0.001-0.1 массы Солнца.

Это типичная для протопланетного диска масса.

Но момента импульса (углового момента) гораздо меньше.



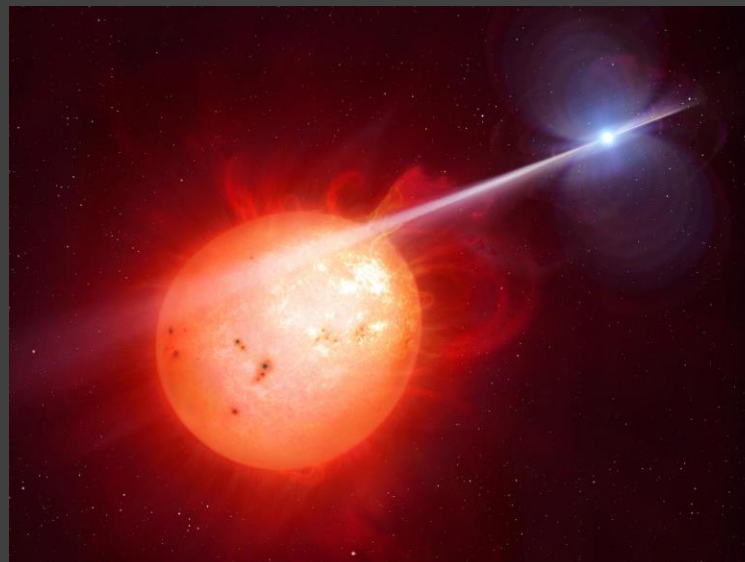
Разрушение компаньона радиопульсара

Радиопульсар постепенно испаряет своего соседа.

Полностью конвективный (красный карлик) или вырожденный (белый карлик) компаньон заполняет полость Роша и разрушается, если его радиус растет быстрее, чем полость Роша.

Образуется диск с большим удельным моментом импульса.

В нем могут формироваться планеты.



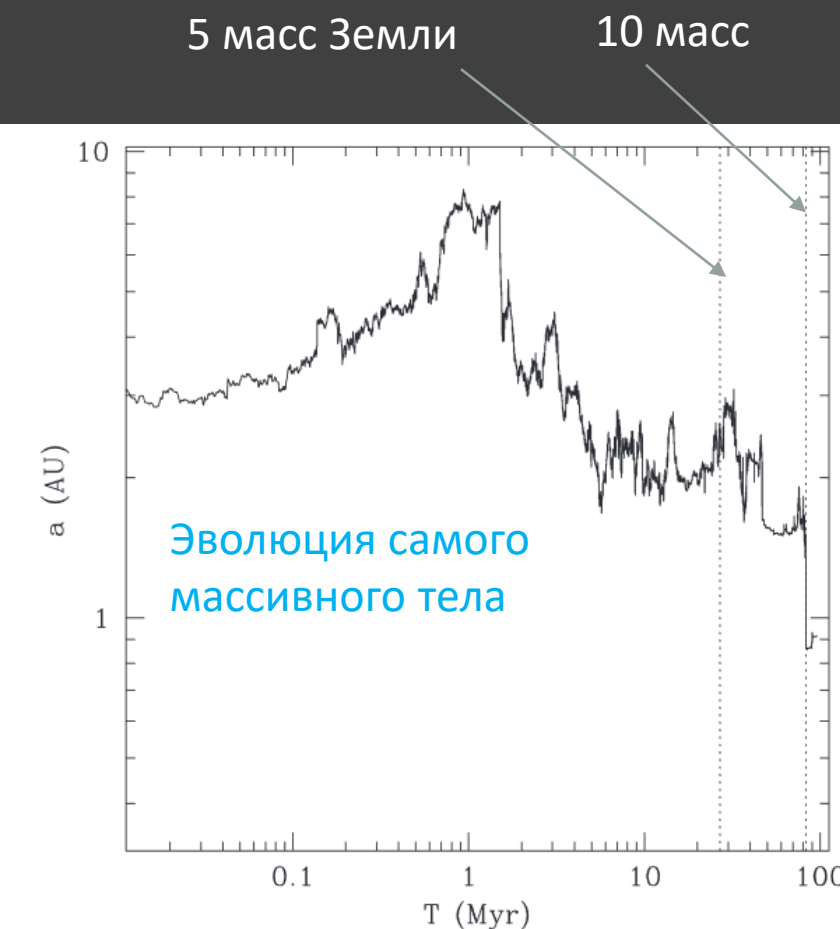
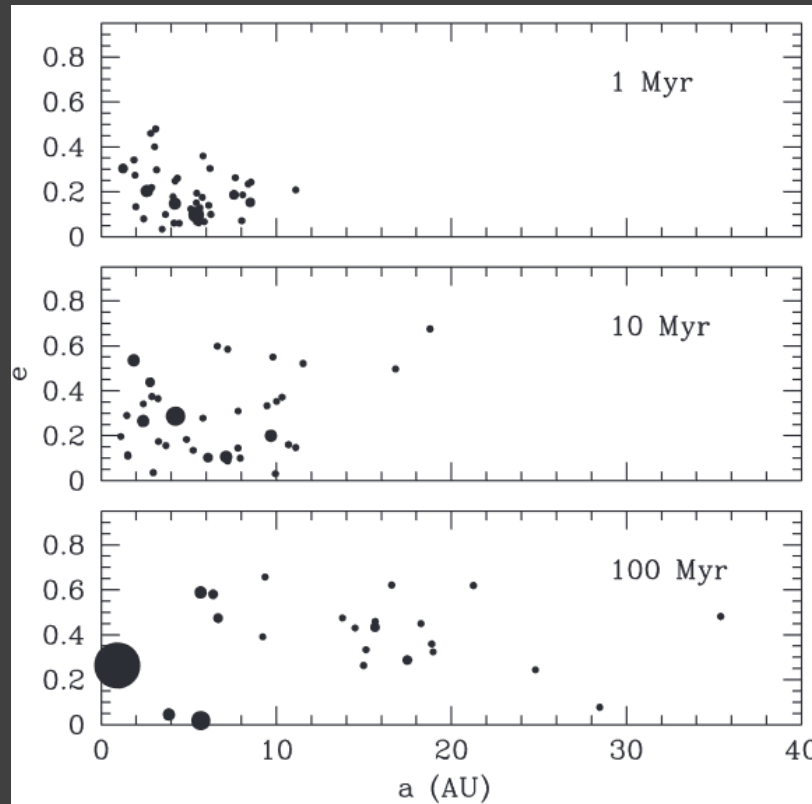
Испарение соседа также возможно. Но в этом случае диск получается слишком массивным.

Пульсары с маломассивными компаньона формируются редко. Во-первых, маловероятно большое отношение масс. Во-вторых, такой системе труднее выжить после взрыва сверхновой.

Модель формирования планет вокруг PSR 1257+12

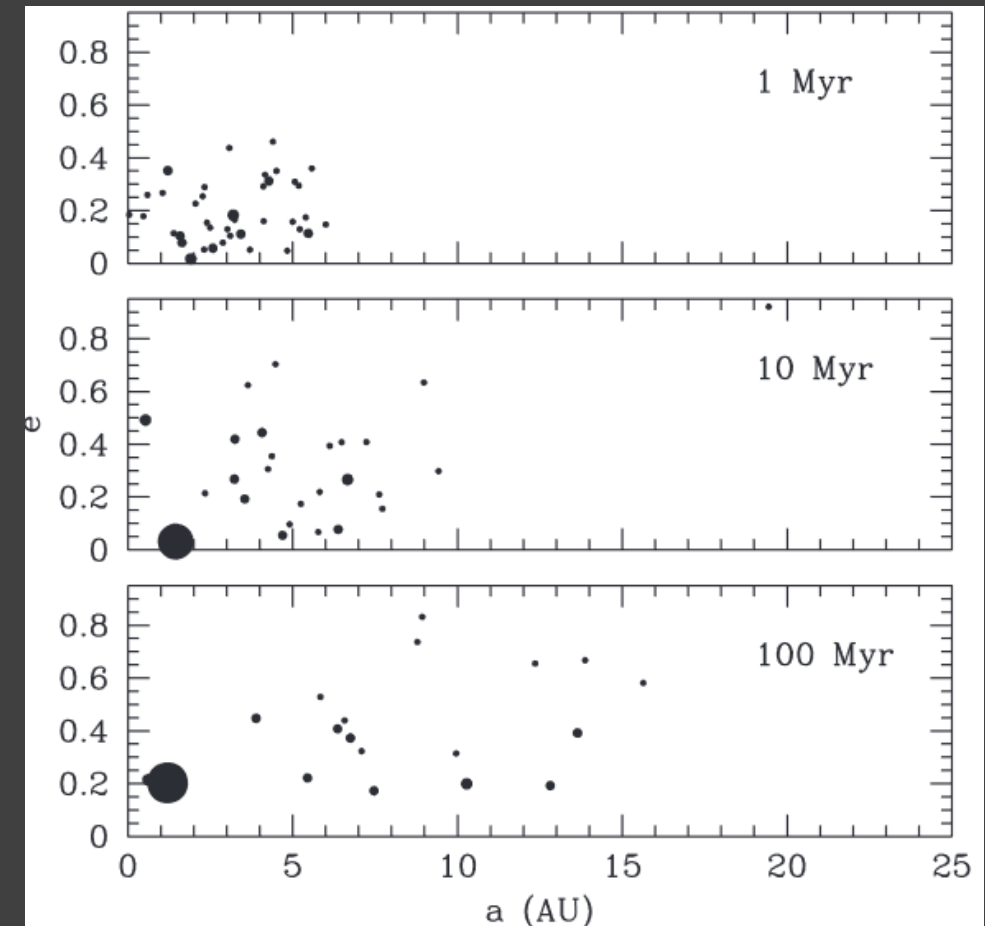
Диск с большим угловым моментом вокруг молодой НЗ.
Образование – разрушение компаньона приливом
при близком прохождении НЗ
после сильного кика.

Слишком поздно,
чтобы стать Юпитером:
в диске уже нет газа



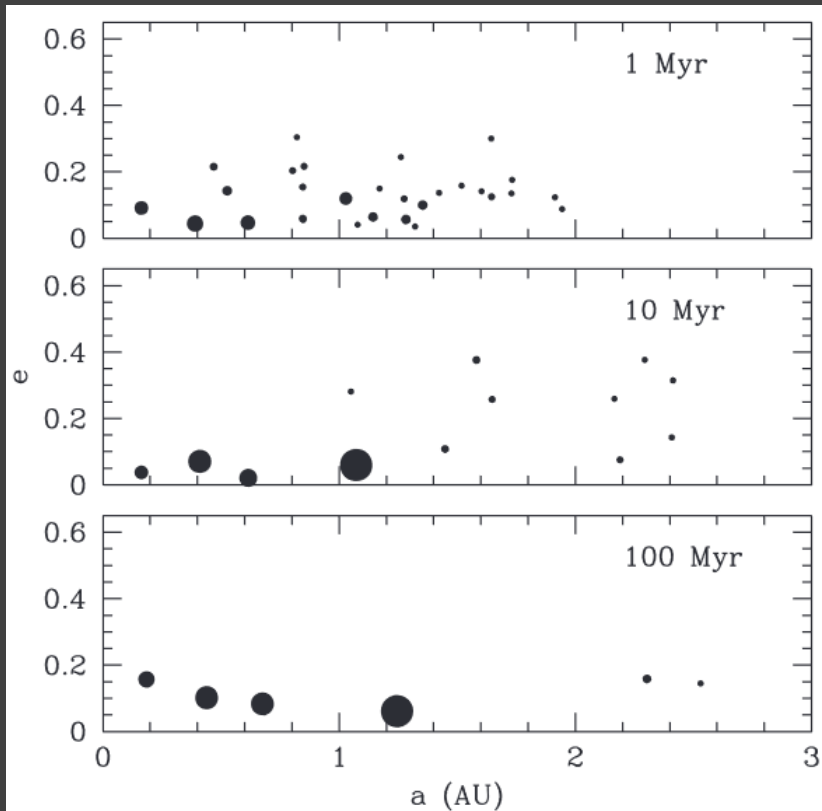
Модель формирования планет вокруг PSR 1257+12

Диск с на порядок меньшим
орбитальным моментом.

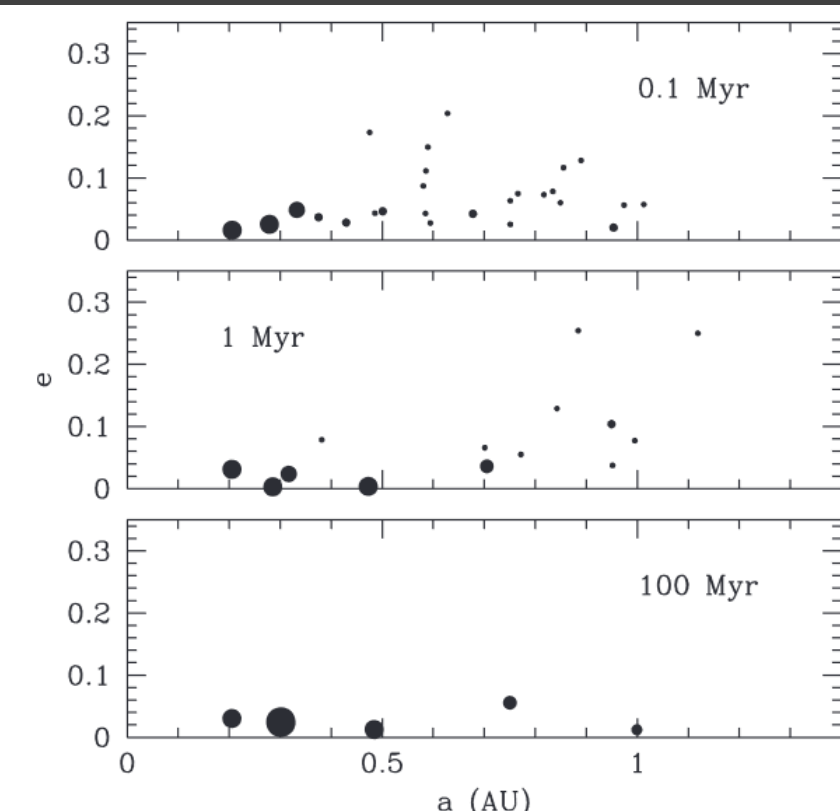


Модель формирования планет вокруг PSR 1257+12

Диск с еще на два порядка меньшим
орбитальным моментом.
Образование – возвратная акреция
(fall-back).



Полностью вязкий диск
(fully viscous disk)

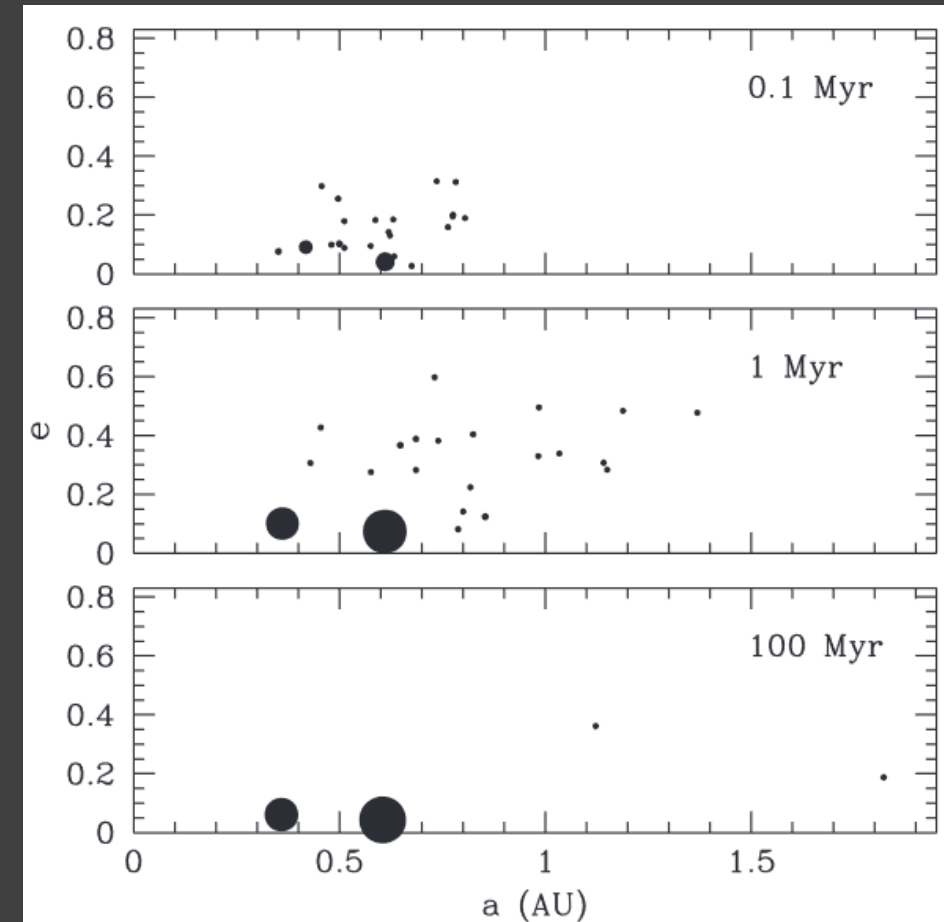


Слоевая акреция
(layered accretion)

Модель формирования планет вокруг PSR 1257+12

Диск с низким орбитальным моментом и
вещество в узком кольце $0.4 < r < 0.6$ а.е.

Такая конфигурация дает
систему планет, более похожую
на наблюдаемую, хотя и тут
есть заметные отличия.



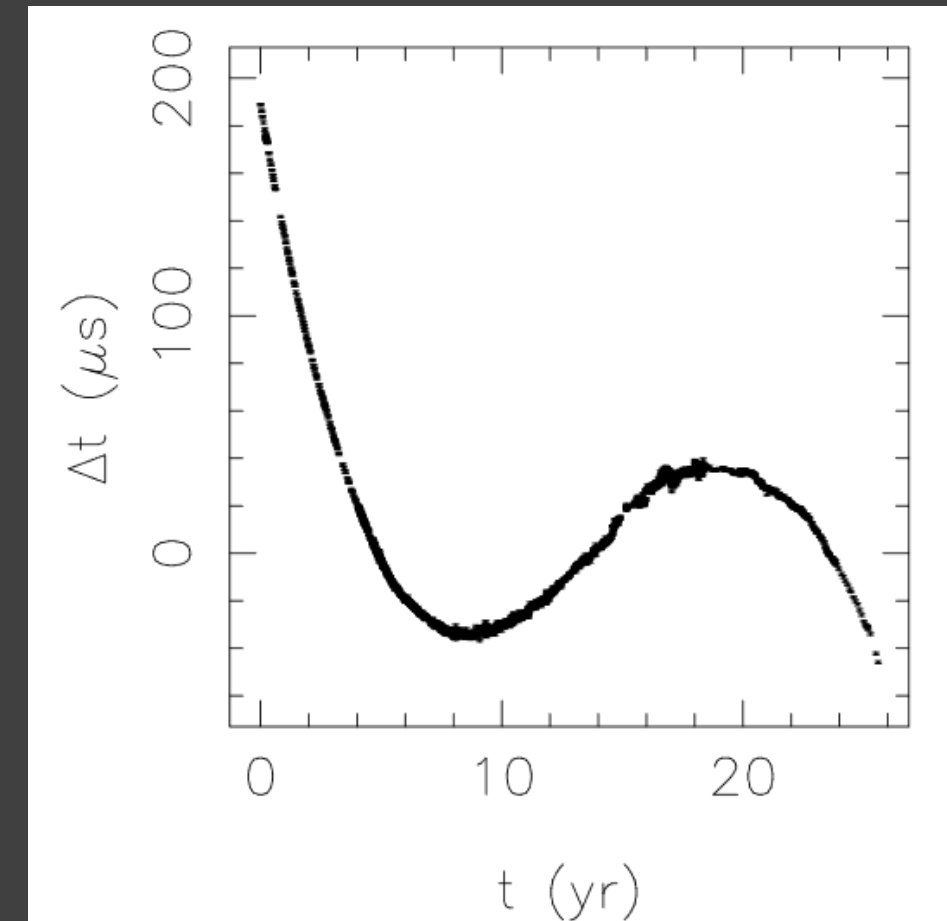
Пульсар и пояс астероидов?

PSR J1937+21. Миллисекундный пульсар $P=0.0016$ сек.
Полная масса пояса <0.05 массы Земли

Вблизи пульсара астероиды
будут активно испаряться
под действием излучения.

Кроме того, может быть важен
эффект Ярковского.

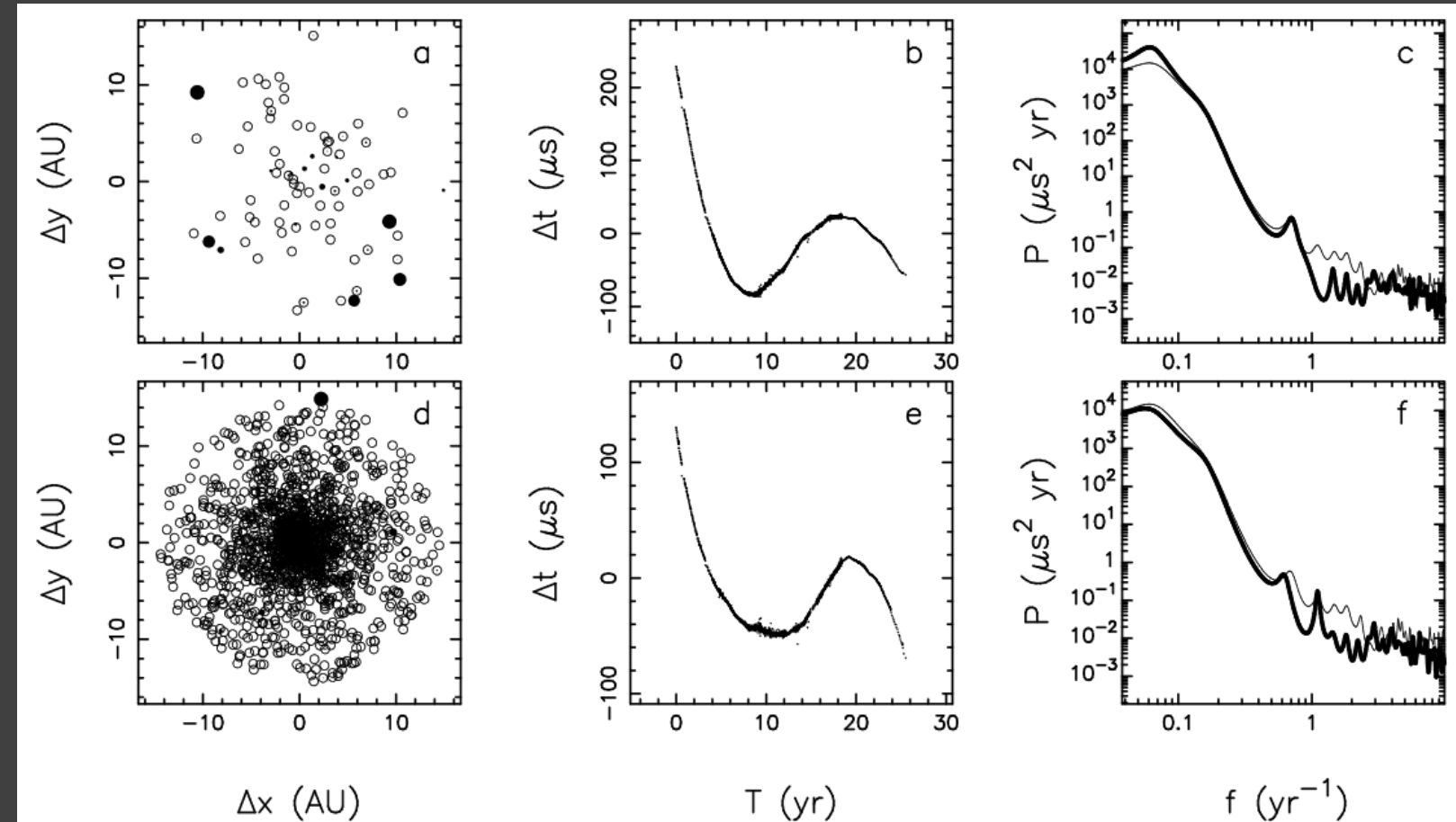
Пояс астероидов может образоваться
после разрушения компаньона
(белого карлика, например),
испарявшегося по действию
излучения радиопульсара.



Моделирование вариаций за счет пояса астероидов

Лучшие модели пояса астероидов
с точки зрения описания данных.

Черные кружки –
более массивные объекты.



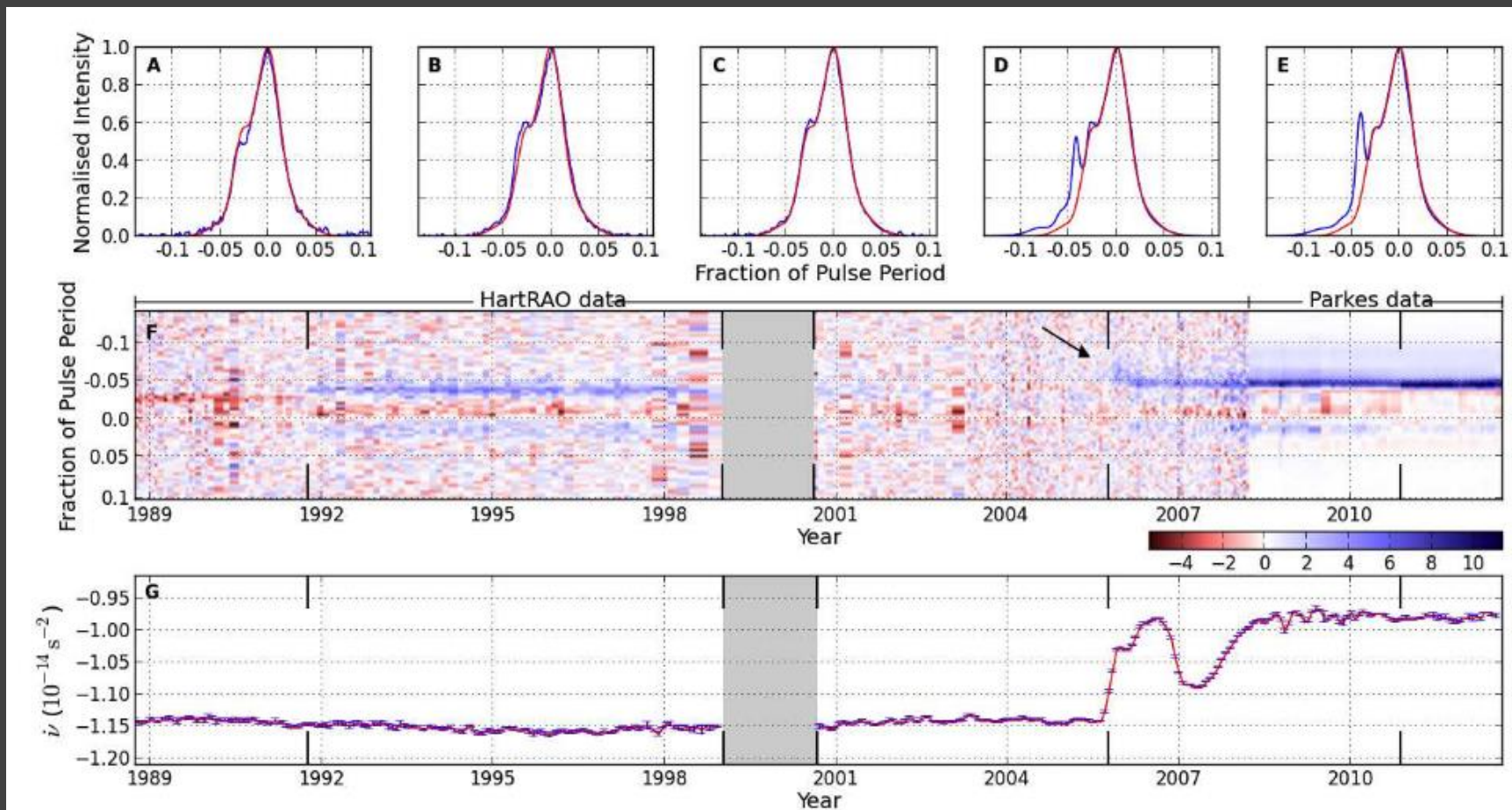
Пульсар и пояс астероидов-2?

PSR J0738–4042

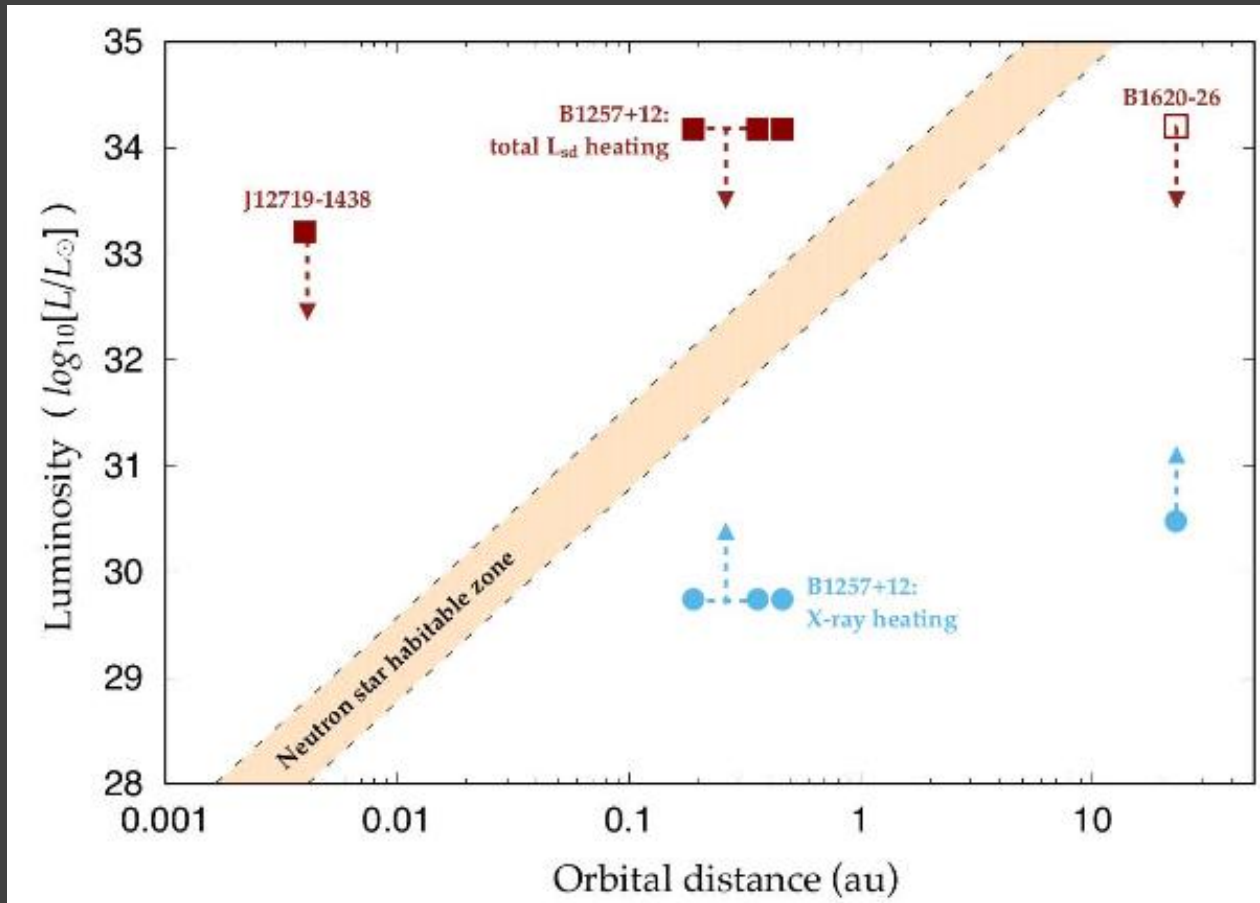
Нормальный пульсар.

Период 0.375 сек.

На протяжении
длительного времени
наблюдались эпизоды,
когда резко менялся
темп замедления пульсара и
свойства его излучения.



Обитаемые планеты у пульсаров?

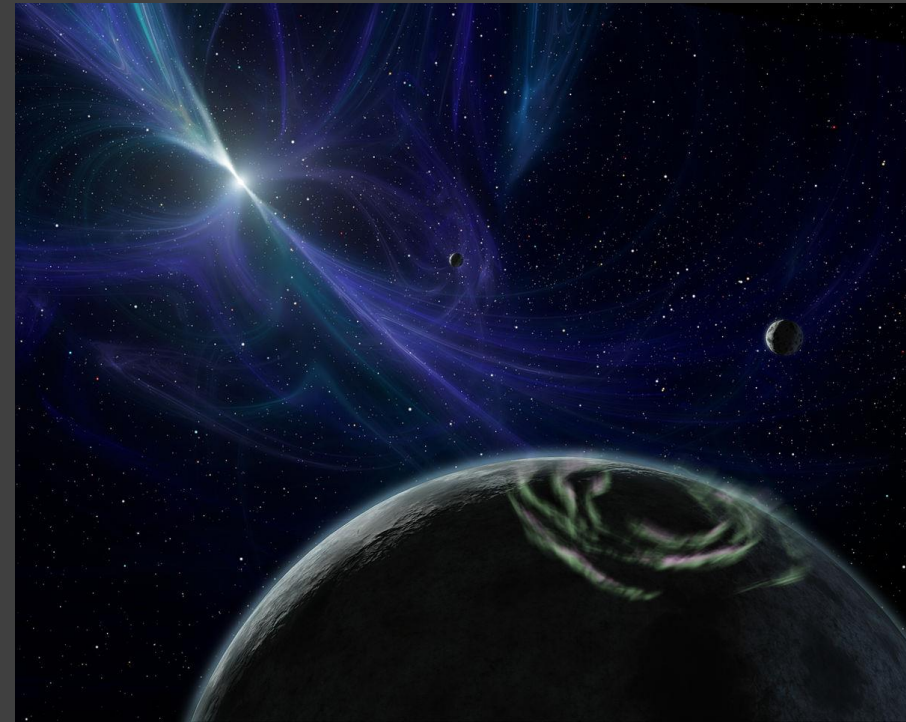


Магнитное поле планеты может предотвратить потерю атмосферы.

Planet	Mass (M_\oplus)	T_{\min} (K)	T_{\max} (K)
PSR B1257+12 b	0.02	70	899
PSR B1257+12 c	4.3	51	652
PSR B1257+12 d	3.9	45	577
PSR B1620-26 b	795	10	83
PSR J1719-1438 b	318	NA	3540

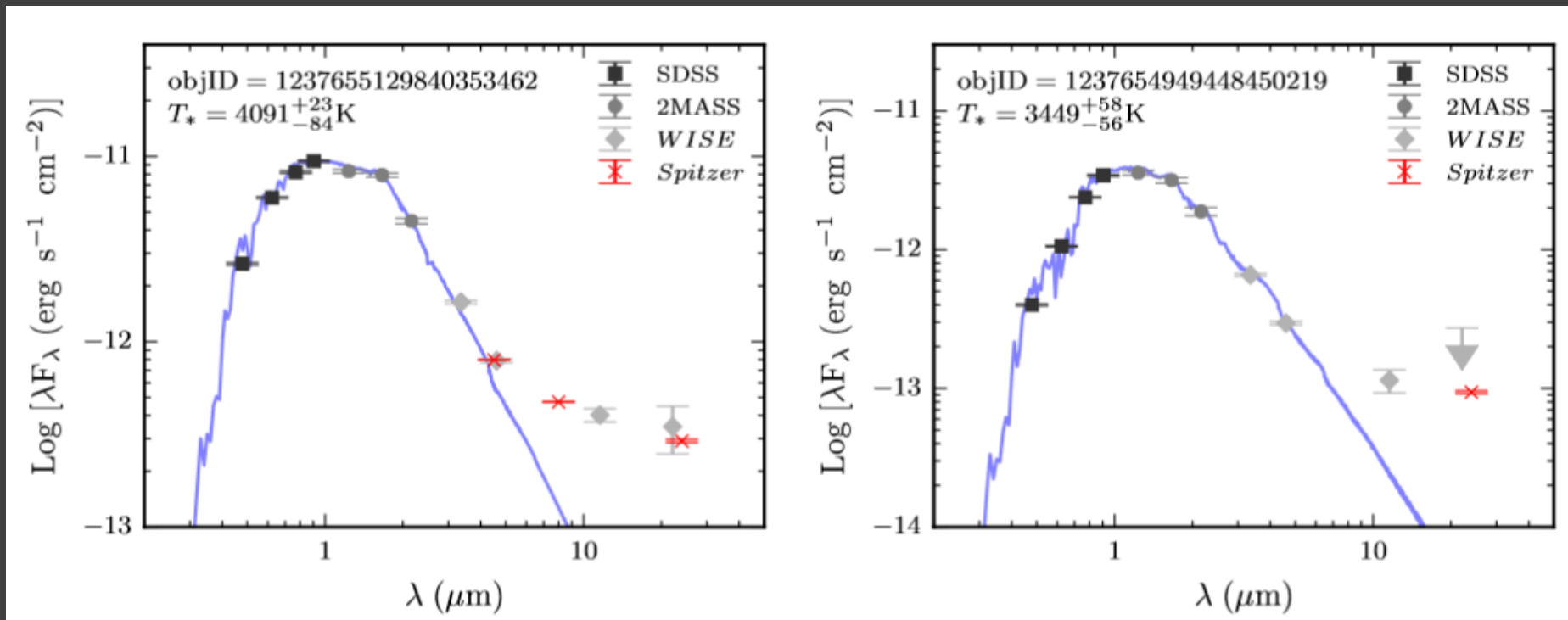
Планеты у пульсаров: резюме

- У радиопульсаров наблюдаются компаньоны планетных масс.
- По всей видимости, основная масса объектов – это единичные остатки более массивных компаньонов, разрушенных (в основном – испаренных) пульсаром.
- Особняком стоит несколько систем, где планеты имеют иное происхождение
- Как планеты образуются вокруг пульсаров – не ясно.
- Скорее всего это связано с разрушением относительно массивного компаньона и формированием диска.
- Кроме того, пульсары могут захватывать планеты при тесном взаимодействии (например, в шаровых скоплениях).
- У пары пульсаров возможно наблюдаются «пояса астероидов».



Столкновение миров

Авторы исследовали большую выборку старых (~ 1 Gyr) звезд с избытком инфракрасного излучения. Наилучшим объяснением таких свойств является столкновение крупных твердых тел типа Земли. Примером такого столкновения в истории Солнечной системы может быть формирование Луны.



Key papers

- Veras “**Post-main-sequence planetary system evolution**” arXiv: 1601.05419
- Martin et al. “**Why are pulsar planets rare?**” arXiv: 1609.06409
- Vanderburg, Rappoport “**Transiting Disintegrating Planetary Debris around WD 1145+017**” arXiv: 1804.01997